

Imagerie 3D (2)

Gérard Subsol

gerard.subsol@lirmm.fr

19 avril 2019

1. Quelques rappels

2. Quelles sont les différences entre le traitement 2D et 3D ?

3. Visualisation surfacique

- a. Segmentation d'une Région d'Intérêt
- b. Quelques rappels sur les maillages
- c. Extraction d'isosurface par l'algorithme du « Marching Cubes »

4. Travaux pratiques

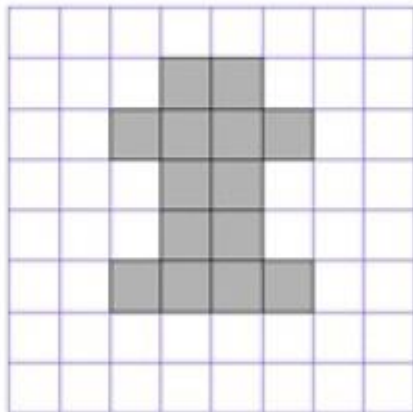
Extraction d'isosurface

Rappel 1 : qu'est-ce qu'une image 3D ?

- Matrice en **3** dimensions et non plus en 2 dimensions.
- Représentées par un empilement d'images 2D (**coupes**)
- Notion d'**épaisseur** en plus de la largeur et de la longueur
- Pixel (*Picture Element*) → **Voxel** (*Volume Element*)
- $I=f(x,y,z)$ où I =intensité (ou une couleur)

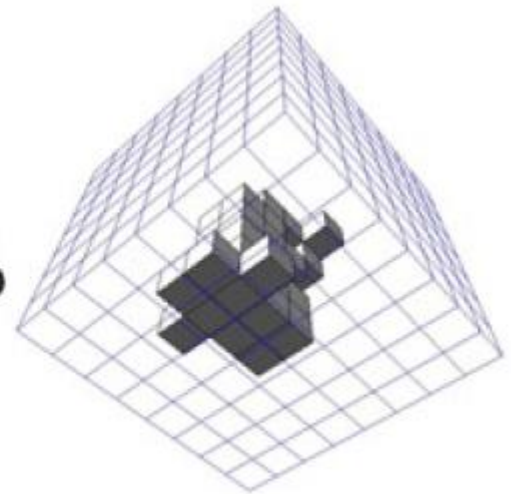
Pixel =

un point dans
une image 2D

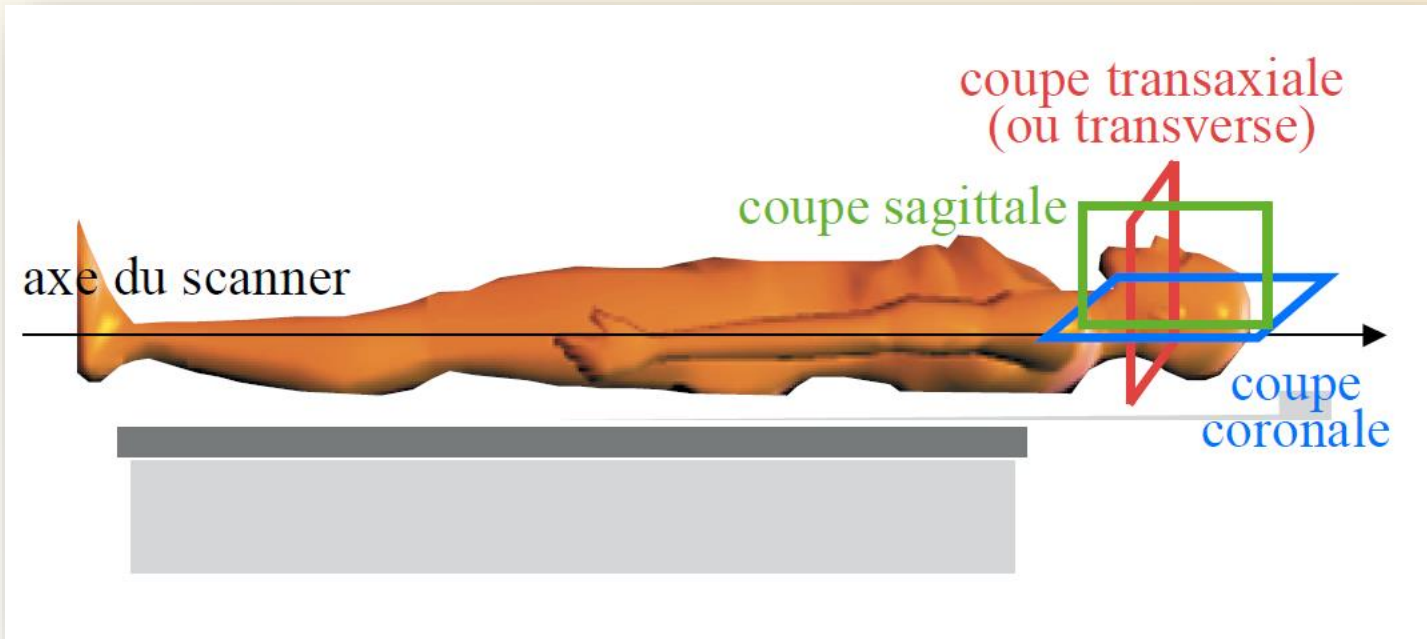


Voxel =

un point dans
une image 3D



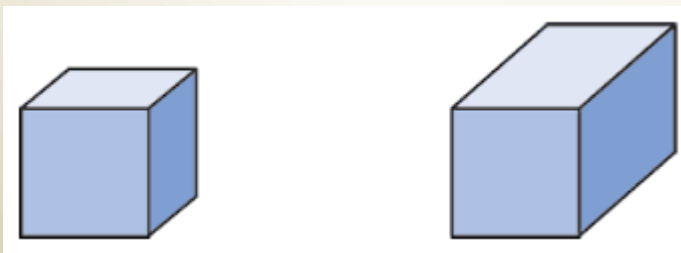
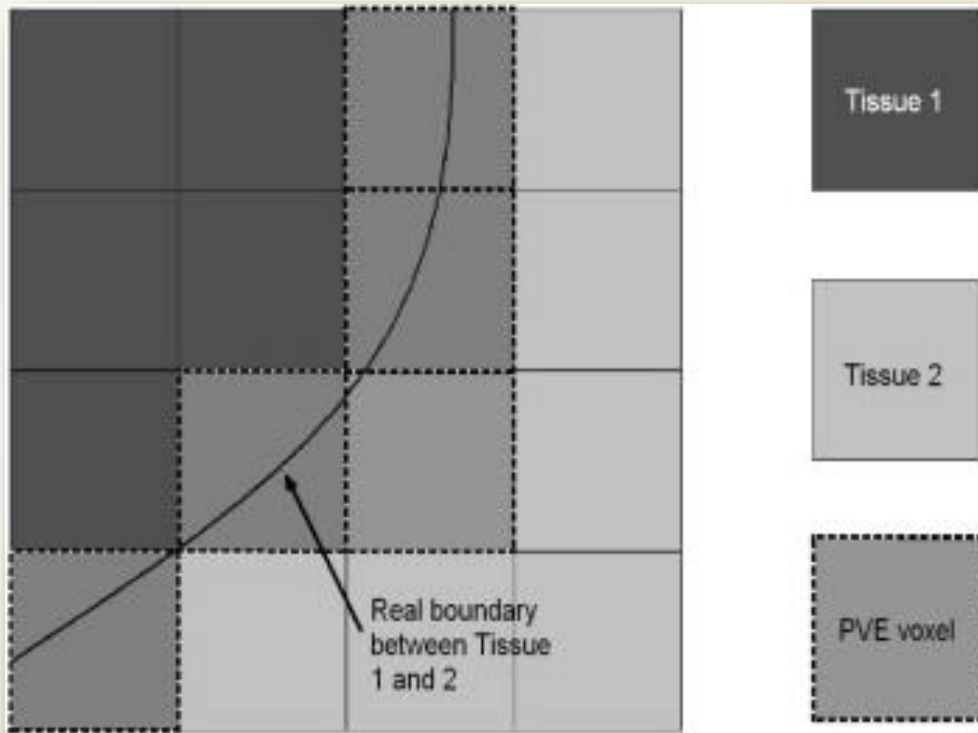
Rappel 2 : Comment sont représentées et stockées ces images 3D ?



- Tout simplement comme un empilement de coupes suivant la direction d'acquisition ou de reconstruction...
- Intensité codée sur 12 bits ou 8 bits, souvent sur 2 octets : attention au codage big endian/little endian : $1000 = 256 \times \mathbf{3} + \mathbf{232}$
→ faut-il stocker : **03 E8** ou **E8 03** ?
- Ne pas oublier de conserver la taille du pixel et son épaisseur (SliceThickness) \neq écart entre coupes (SpacingBetweenSlices)
- Standard DICOM

Rappel 3 : Le « volume partiel »

- Un grand problème : le « volume partiel » (partial volume)

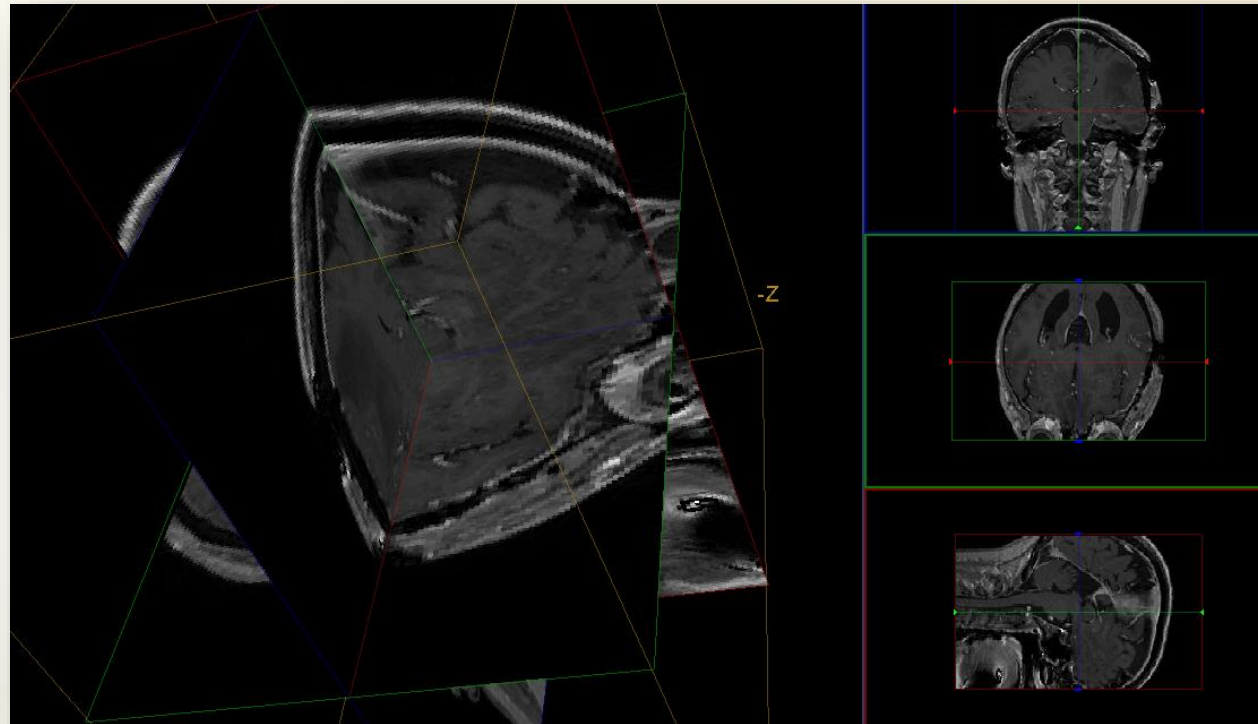


Renforcé par la résolution souvent plus limitée en z

Rappel 4 : Comment visualiser une image 3D ?

Problème : comment voir à l'intérieur de l'image ?

En visualisant suivant 3 plans orthogonaux (*Multi-Planar Reconstruction*) avec éventuellement une vision « 3D » de ces plans



→ Ne permet pas de visualiser des structures obliques...

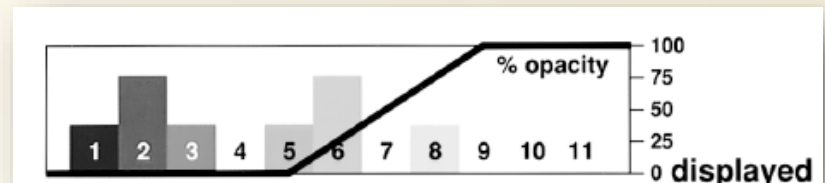
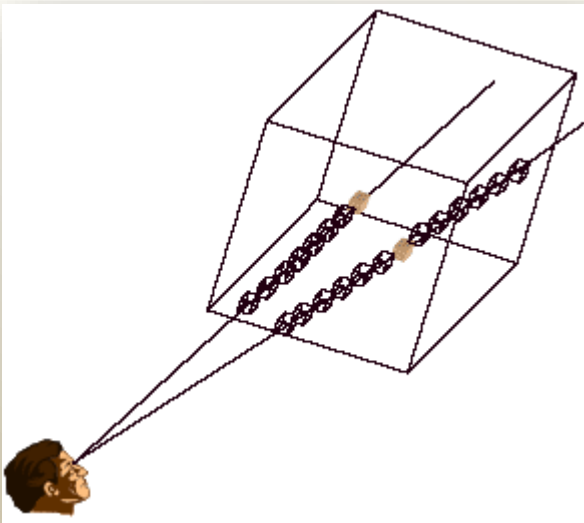
Rappel 4 : Comment visualiser une image 3D ?

Problème : comment voir à l'intérieur de l'image ?

4. Visualisation volumique (*Volume Rendering*)

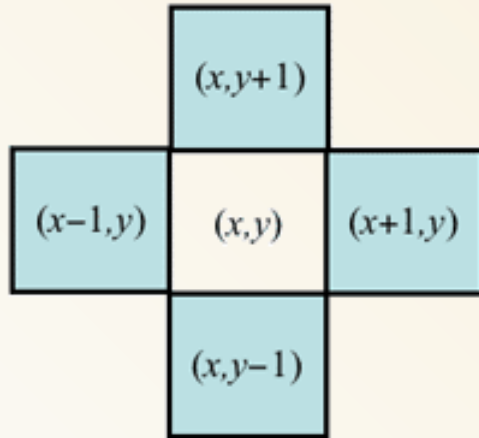
Principe :

- définir une couleur et une opacité pour chaque voxel en fonction de son intensité ;
- sélectionner un point de vue d'observation de l'image 3D
- « intégrer » les informations de couleur et d'opacité en fonction des voxels traversés par les rayons issus de l'œil (*ray casting*).

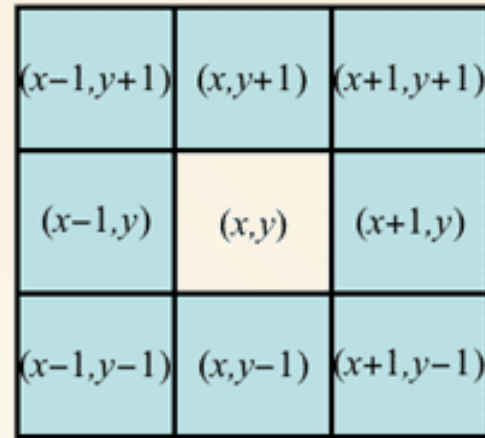


2D/3D : Un voxel... parmi beaucoup plus de voisins

- Voisinage (**neighborhood**) défini par la connexité (**connectivity**).
- Notion de taille (**size**) de voisinage : voisin du voisin du voisin....



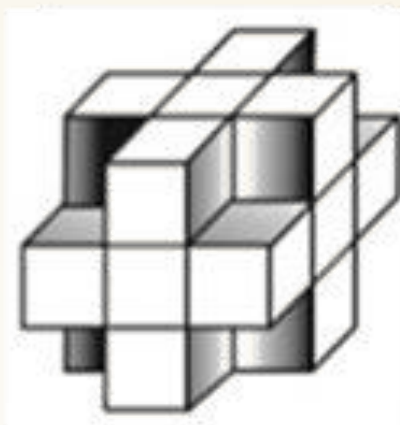
4-neighbourhood



8-neighbourhood



Face (6)



Edge (18)

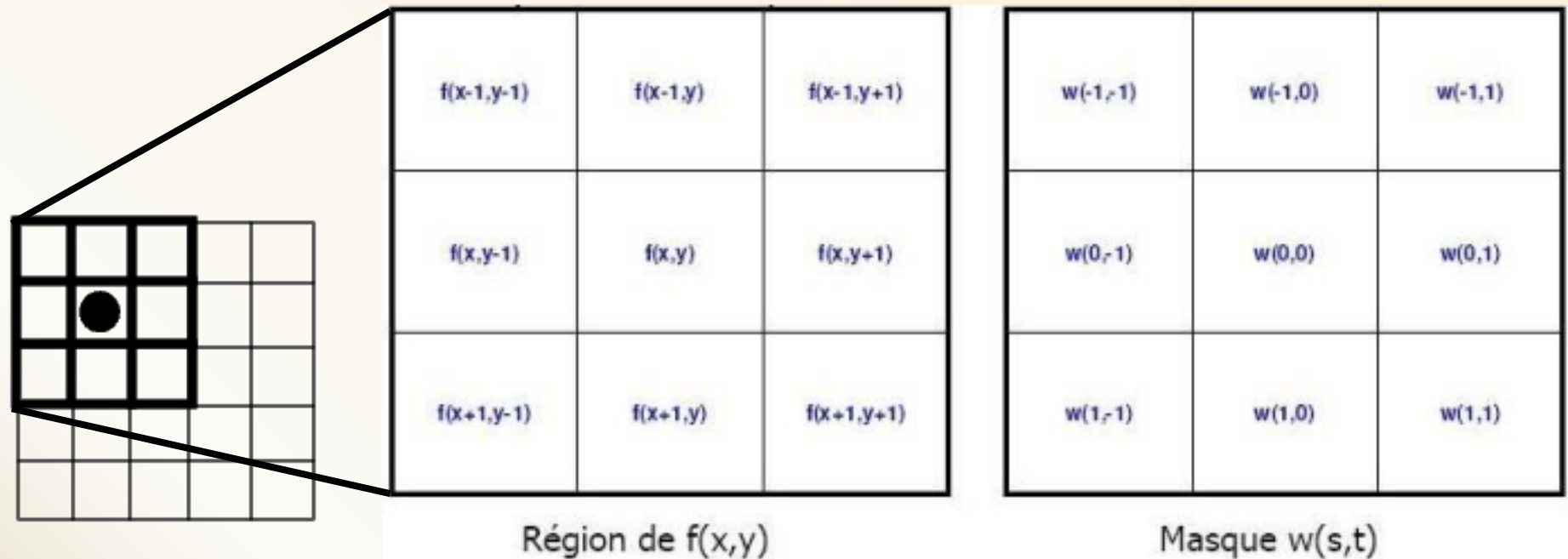


Corner (26)

2D/3D : des méthodes généralisables (filtrage linéaire)

Beaucoup de filtres de traitement d'images (2D ou 3D) sont linéaires.

→ définis par une convolution (**convolution**) avec une fonction de pondération (masque / **mask** ou **noyau** / **kernel**) définie sur un voisinage 3D.



$$g(x, y) = \sum_{i=-1}^1 \sum_{j=-1}^1 w(i, j) f(x + i, y + j)$$

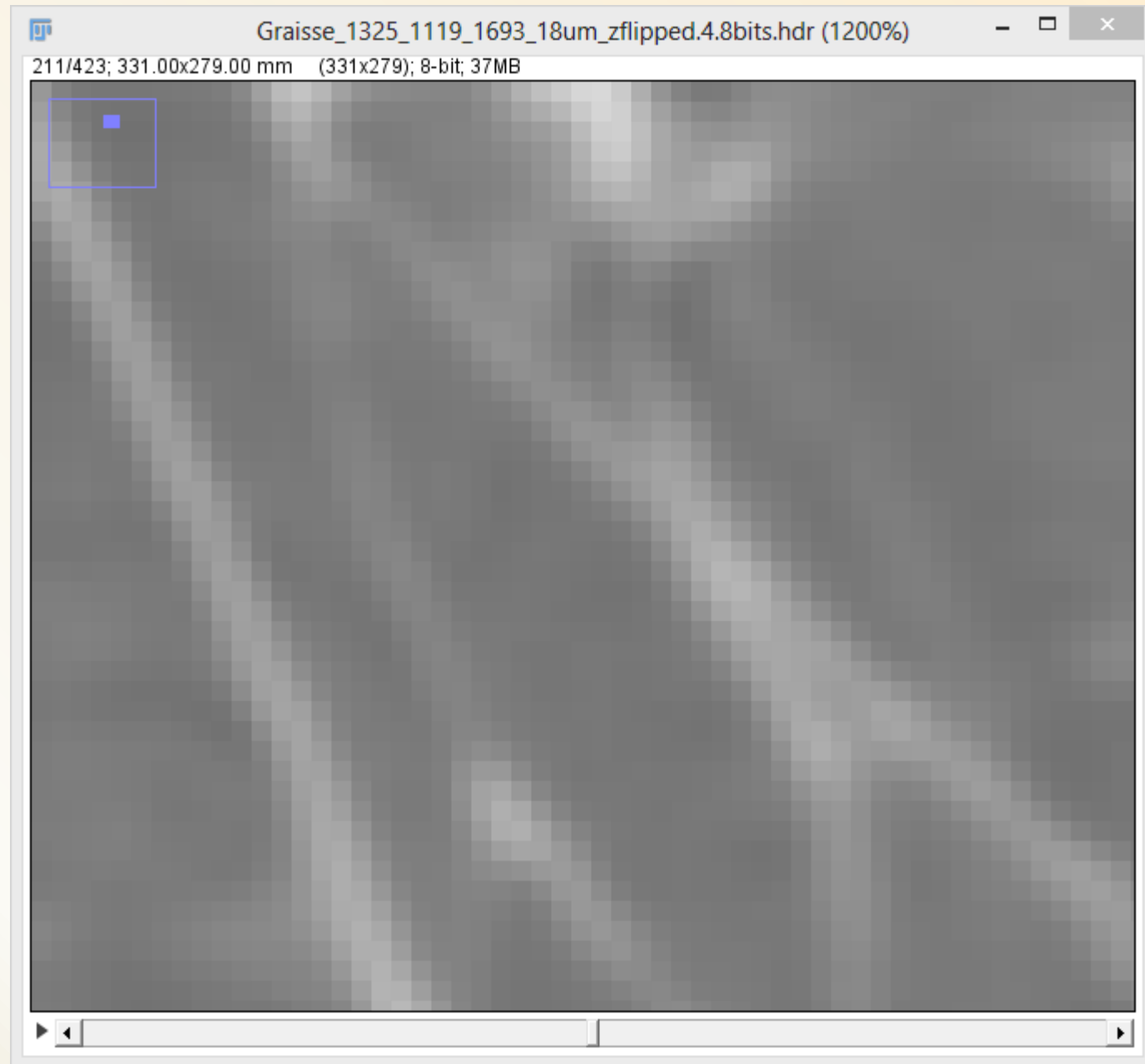
$$\sum w(i, j) = 1;$$

Exemples de filtre linéaire

Moyenne locale
par exemple pour
lisser
(**smoothing**) ou
flouter (**blurring**)

$$M(x,y,z)=1/27$$

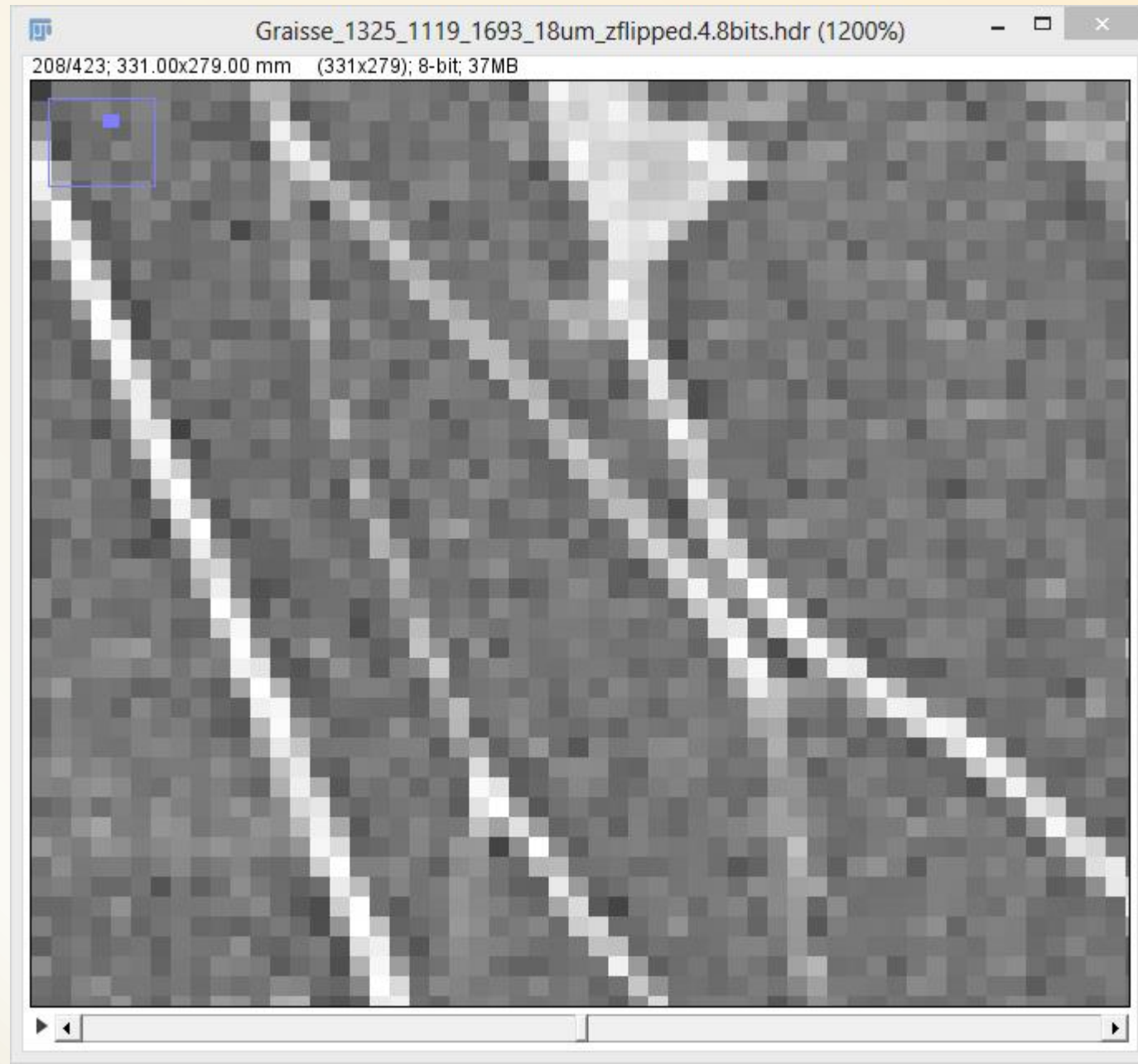
1	1	1
1	1	1
1	1	1



Différences pour
rehausser le
contraste
(**contrast
enhancement**)

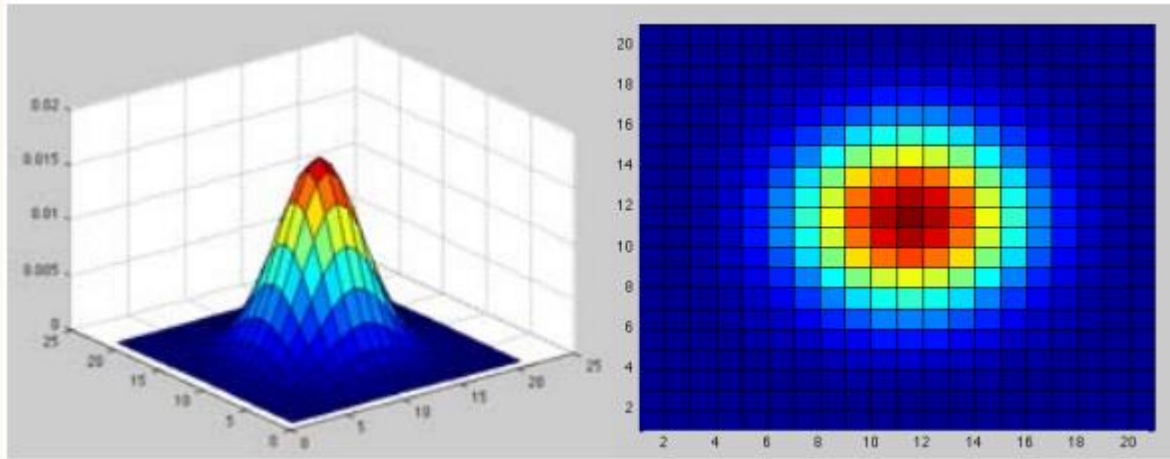
$M(x,y,z)=$

0	-1	0
-1	7	-1
0	-1	0



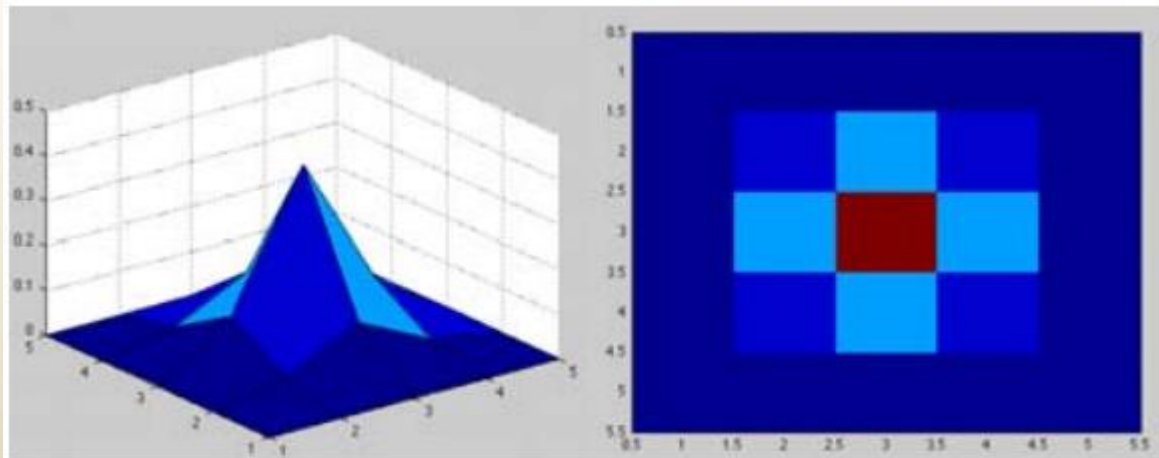
Exemples de filtre linéaire

Lissage Gaussien



Exemple : $\sigma = 1,4$

$$h = \frac{1}{159} \begin{bmatrix} 2 & 4 & 5 & 4 & 2 \\ 4 & 9 & 12 & 9 & 4 \\ 5 & 12 & 15 & 12 & 5 \\ 4 & 9 & 12 & 9 & 4 \\ 2 & 4 & 5 & 4 & 2 \end{bmatrix}$$



Autres filtres

Il existe des filtres non linéaires comme le filtre médian (**median filter**), particulièrement efficace contre le bruit “poivre et sel” ou bruit impulsif.

Par exemple, si on considère ces neuf pixels, dont une valeur aberrante (ici 111) :

5	6	7
6	111	8
7	8	9

le filtre médian va considérer les valeurs du voisinage par valeurs croissantes :

5	6	6	7	7	8	8	9	111
---	---	---	---	---	---	---	---	-----

et prendre la valeur médiane, ici la valeur 7. La sortie du filtre donnera donc :

5	6	7
6	7	8
7	8	9

La notion de gradient 3D

Gradient 3D = vecteur des dérivées du signal de l'image (= intensité) selon les 3 directions x y z.

$$\nabla f = \text{grad } f = \left\langle \frac{\partial f}{\partial x}(x, y, z), \frac{\partial f}{\partial y}(x, y, z), \frac{\partial f}{\partial z}(x, y, z) \right\rangle$$

- Le vecteur gradient est dirigé dans la direction de la plus forte variation locale de l'intensité.
- Pointe vers les zones de plus forte intensité.
- Sa norme donne une indication sur l'importance de la variation.
 - Les contours sont caractérisés par des valeurs élevées de la norme du gradient.

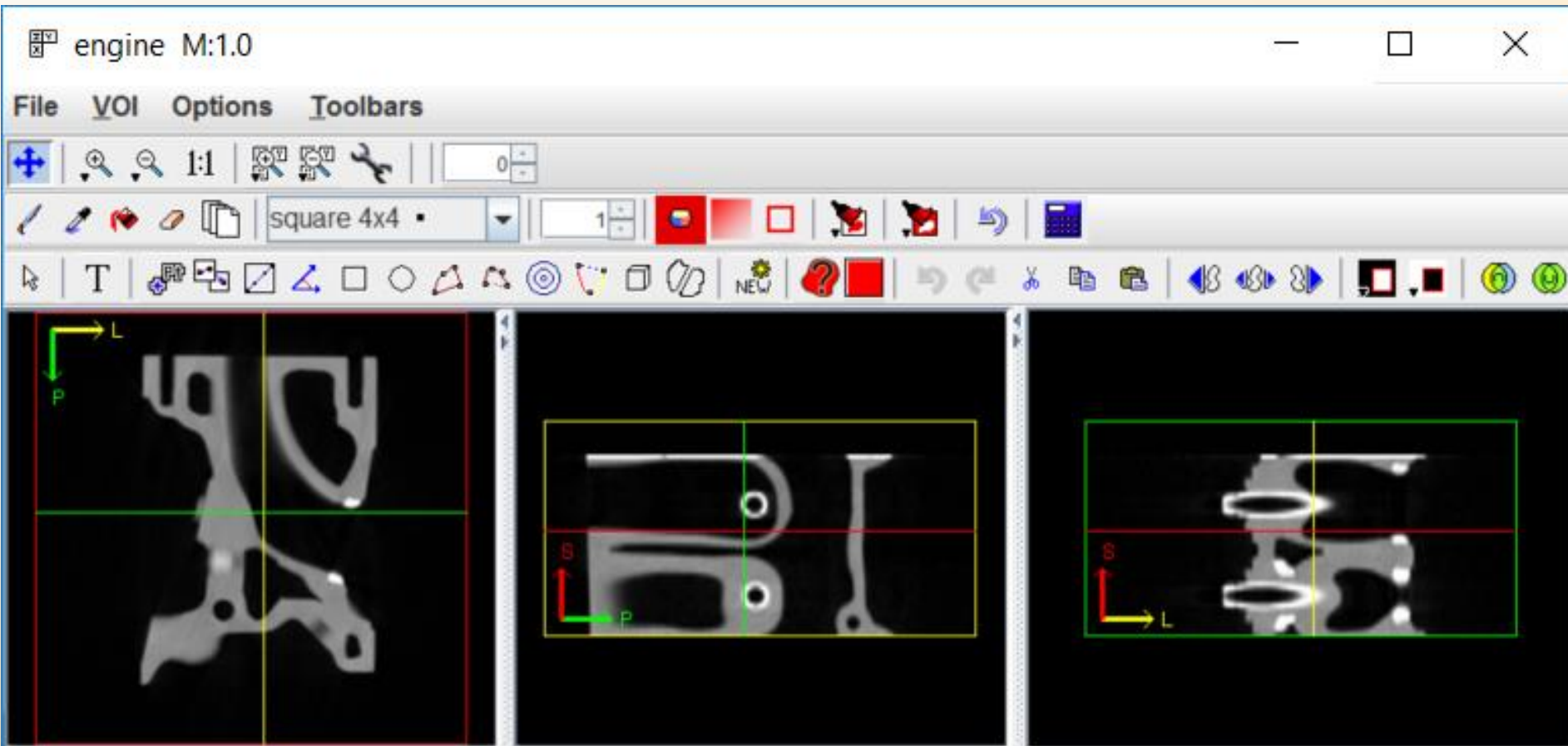
Détection de contours dans une image 3D

Les coordonnées du gradient 3D peuvent être calculées à l'aide de filtres linéaires par différences finies. Exemple : filtres de **Sobel** en 3D

						+1	+2	+1
			0	0	0	+2	+4	+2
-1	-2	-1	0	0	0	+1	+2	+1
-2	-4	-2	0	0	0			
-1	-2	-1						

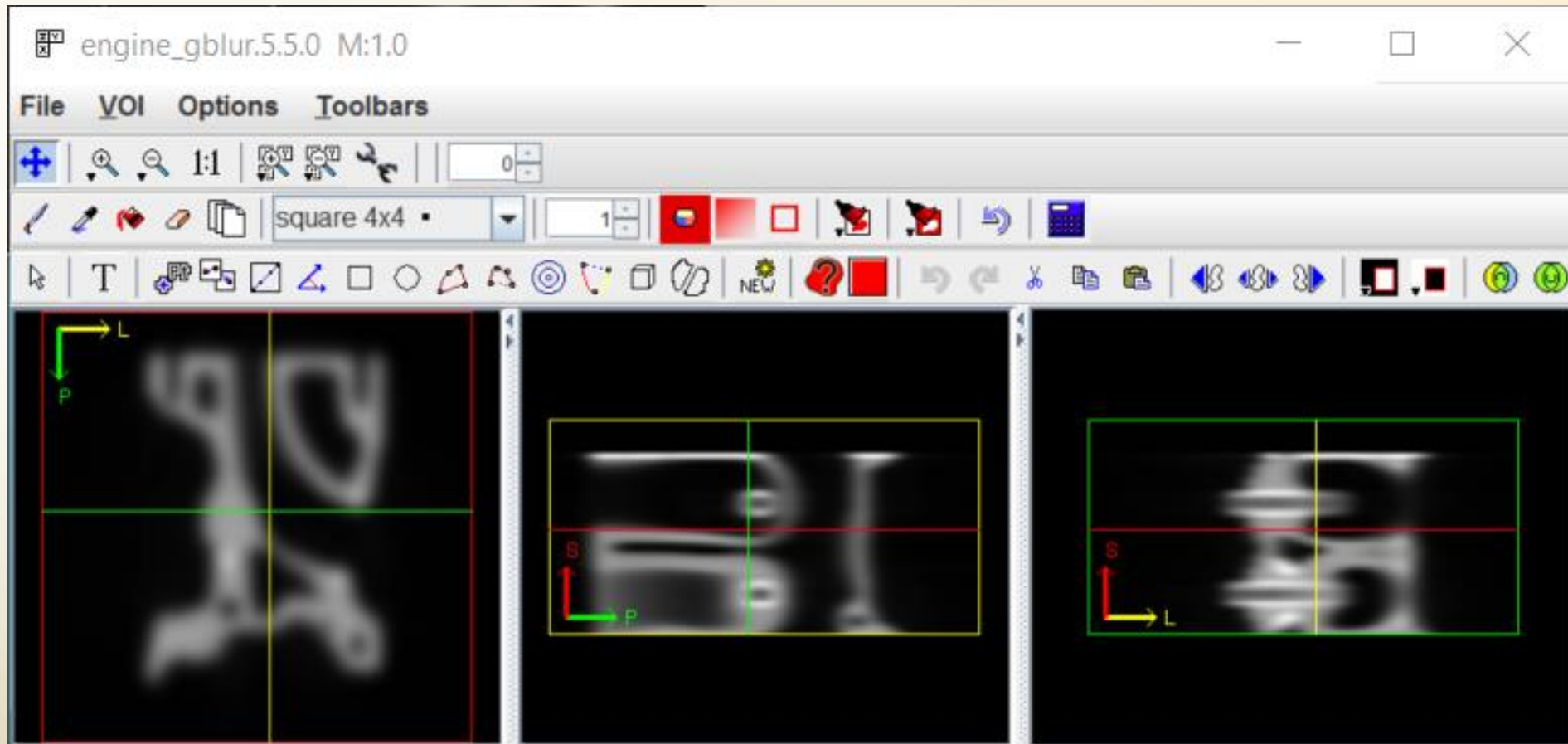
Pour détecter les contours, on peut prendre les “grandes” valeurs du gradient mais il faut trouver un seuil qui ne doit pas être trop sensible au bruit...

2D/3D : résultats différents !



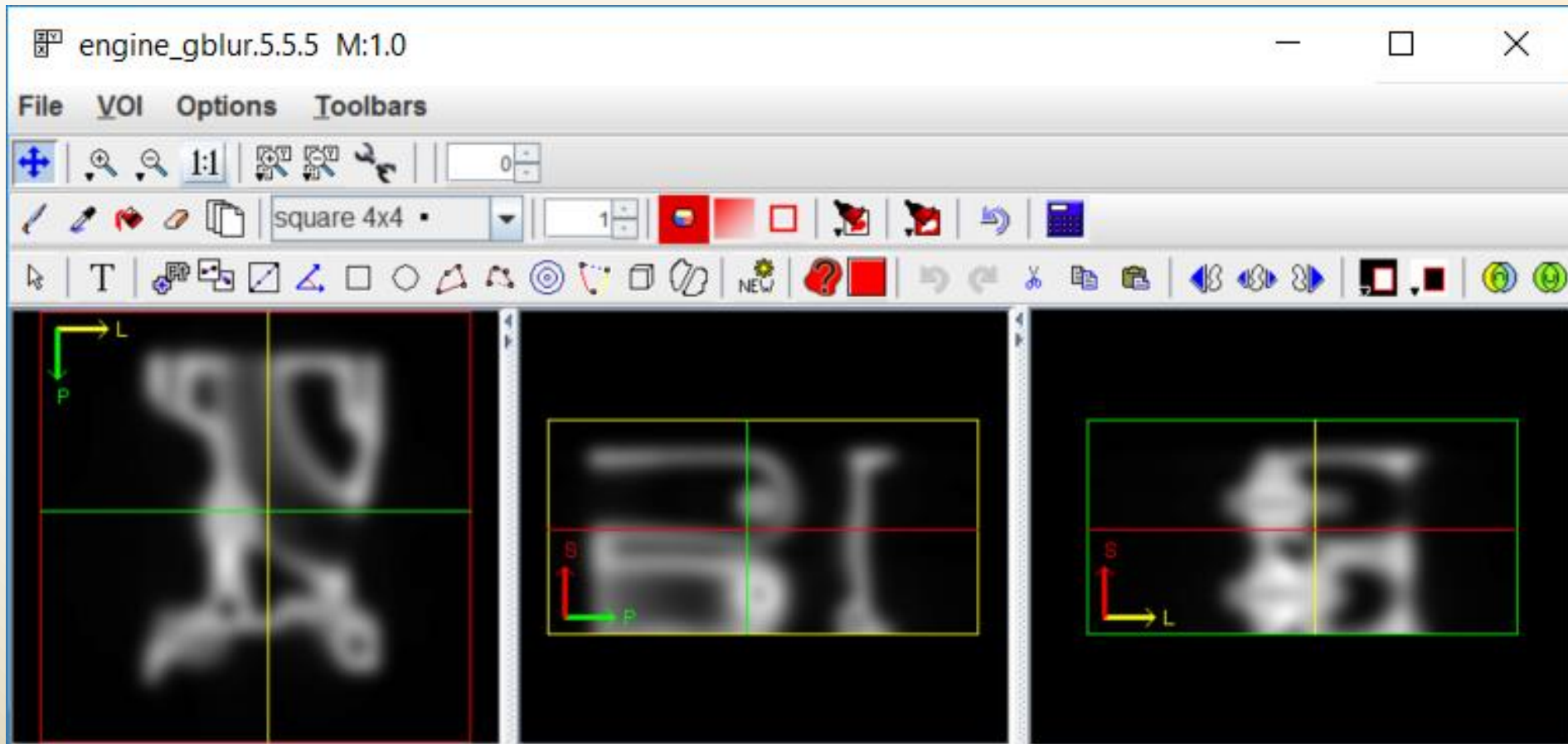
2D/3D : résultats différents !

Lissage 2D coupe à coupe (Gaussien, sigma =5)



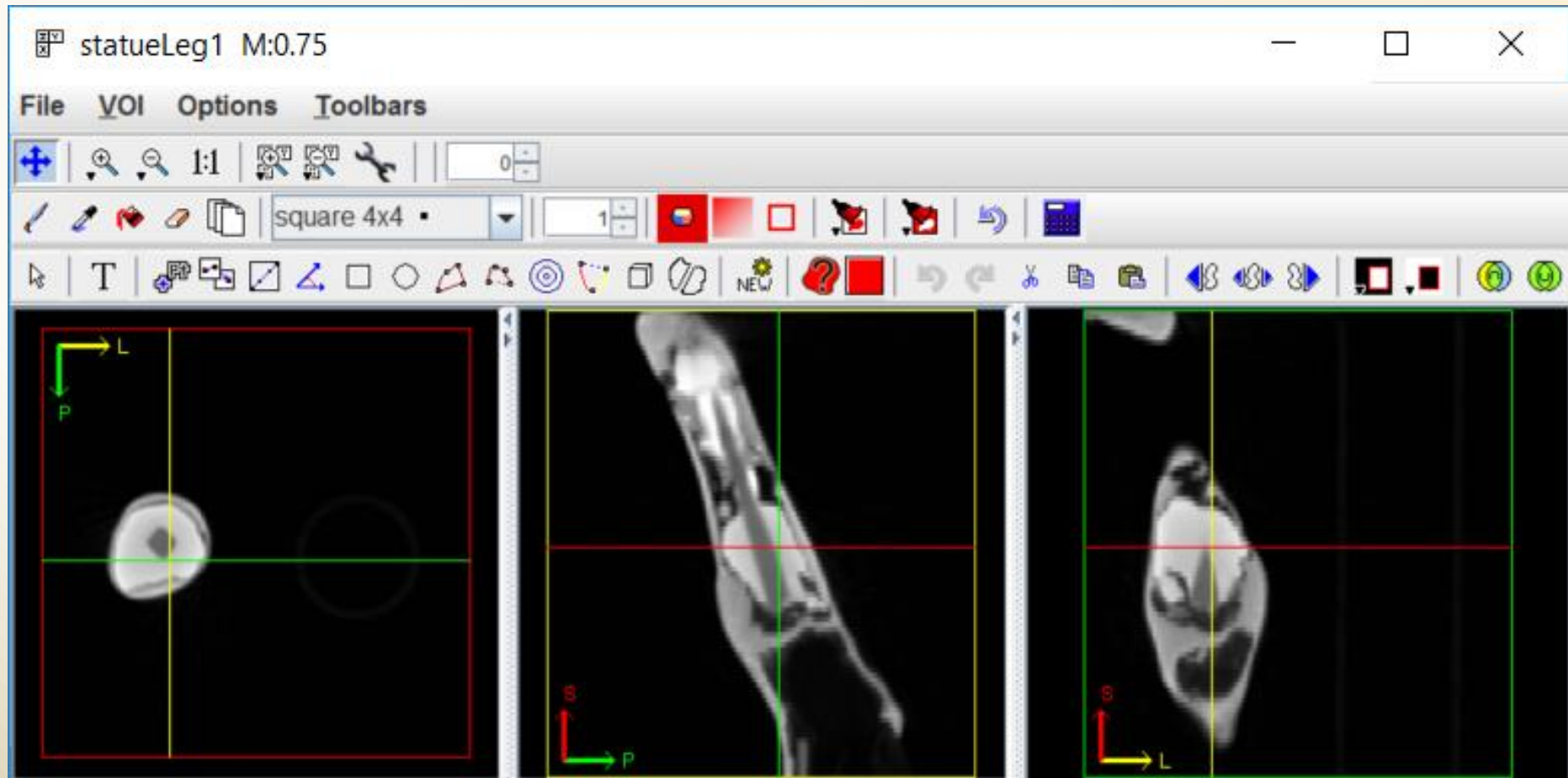
2D/3D : résultats différents !

Lissage 3D isotrope (Gaussien, sigma =5)



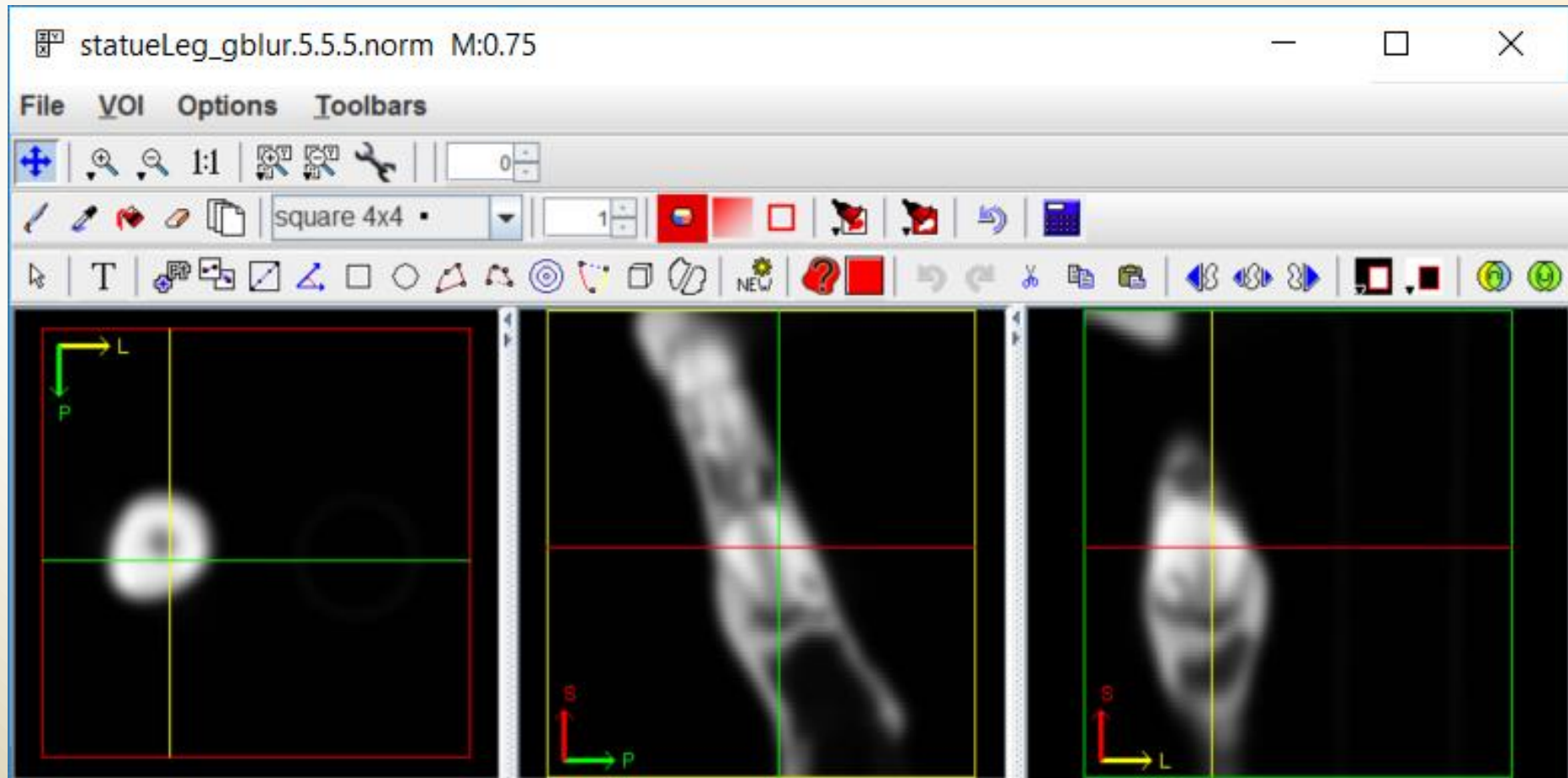
2D/3D : résultats différents !

Image anisotrope 1:1:4



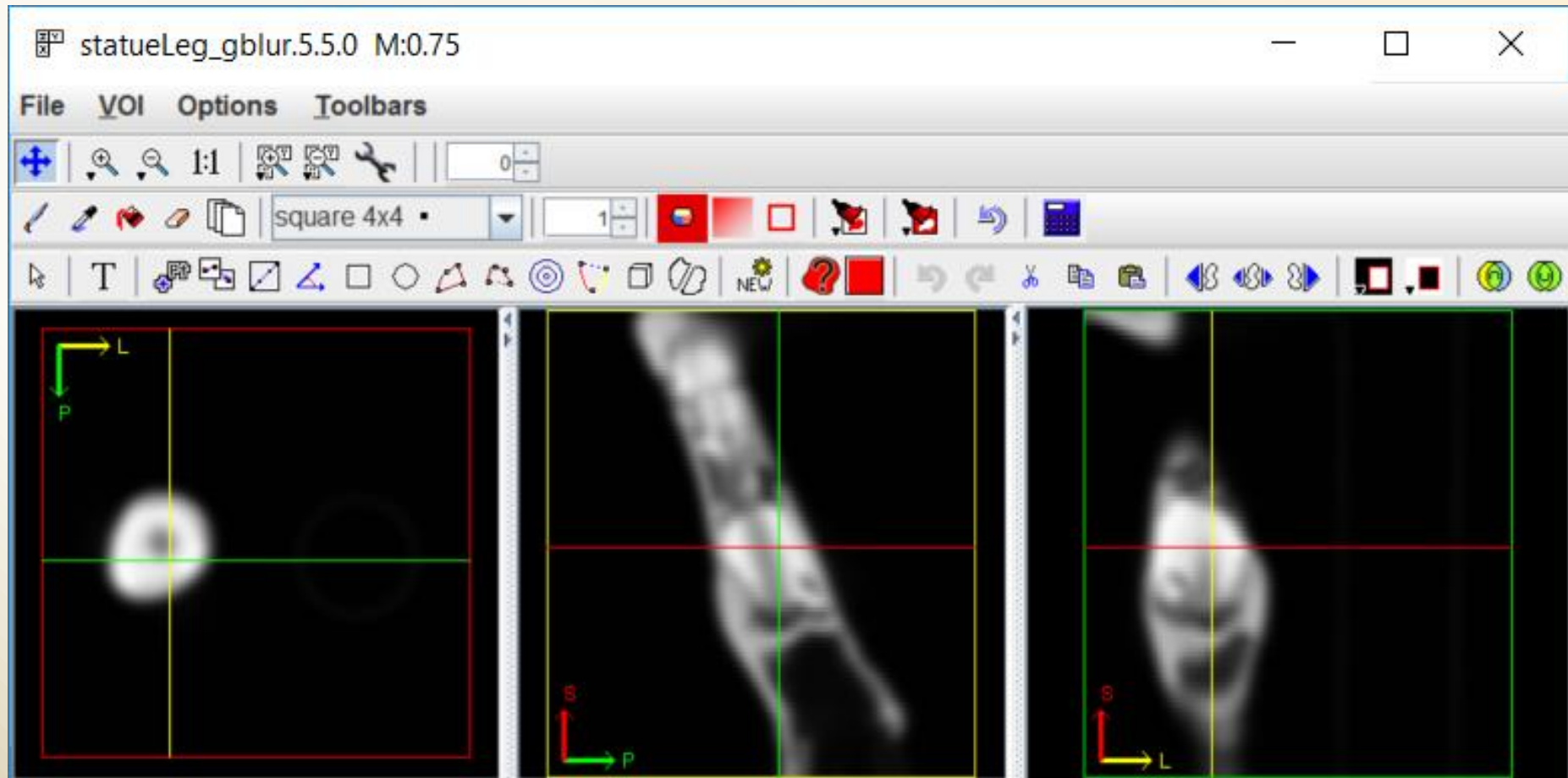
2D/3D : résultats différents !

Image anisotrope 1:1:4 – lissage Gaussien sigma=5 normé



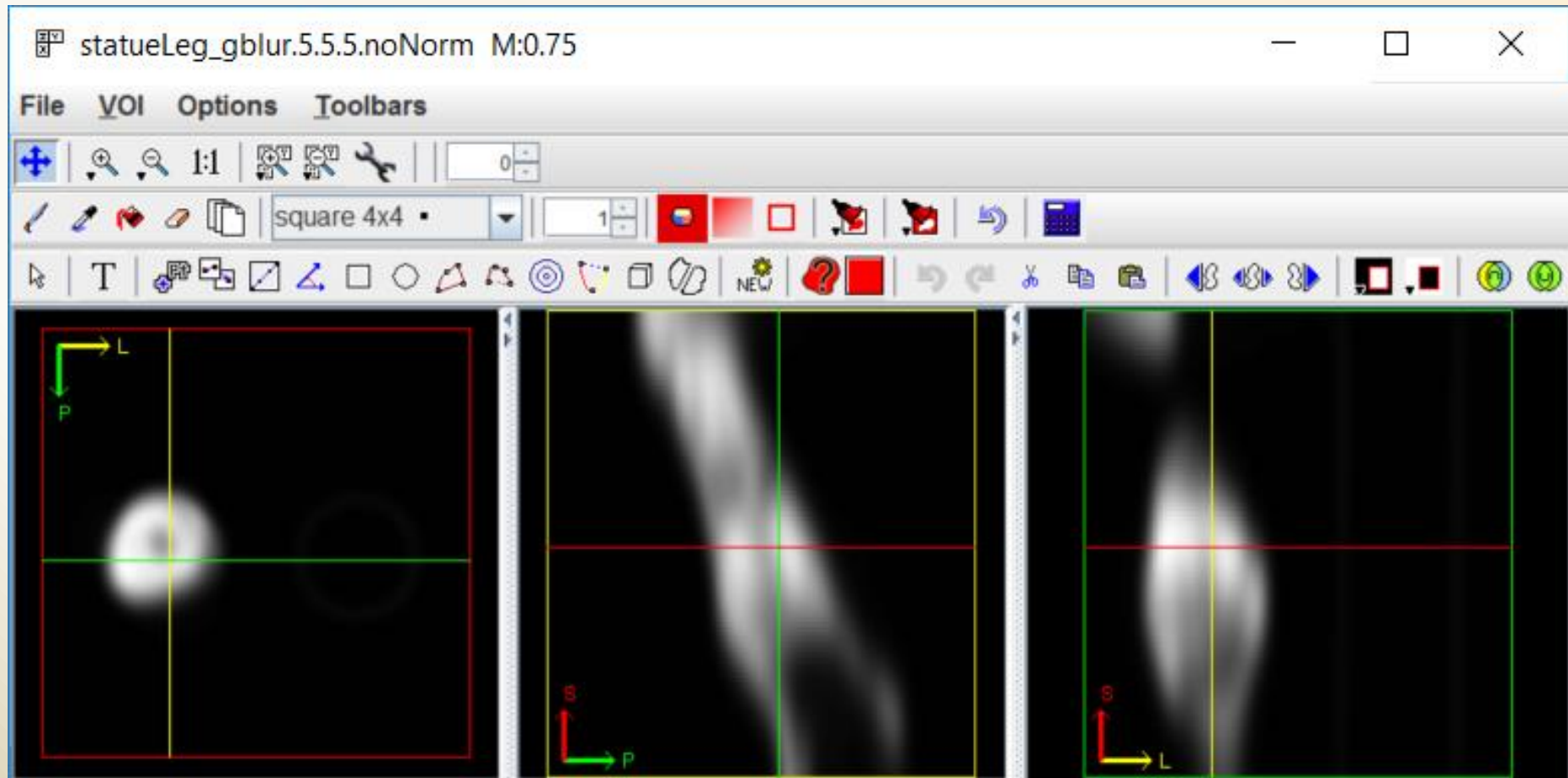
2D/3D : résultats différents !

Image anisotrope 1:1:4 \approx lissage coupe à coupe



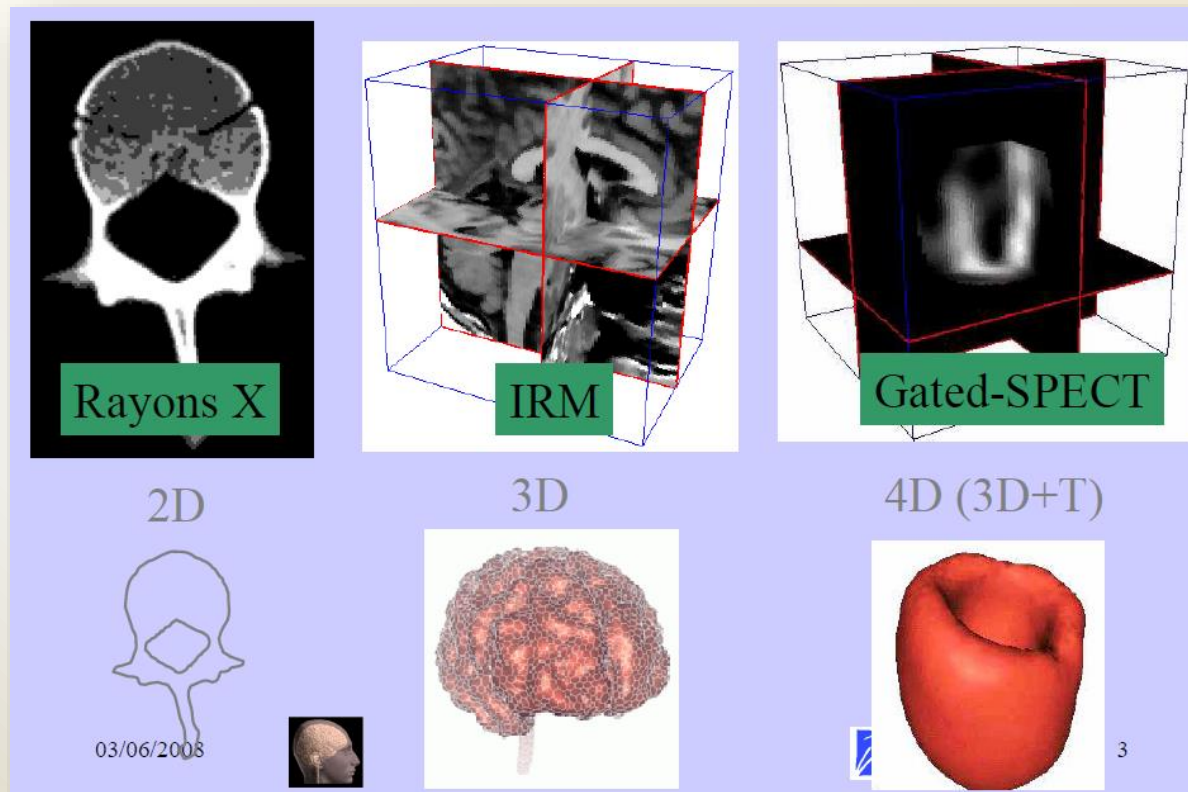
2D/3D : résultats différents !

Image anisotrope 1:1:4 – \leftrightarrow lissage Gaussien $\sigma=5$ non normé



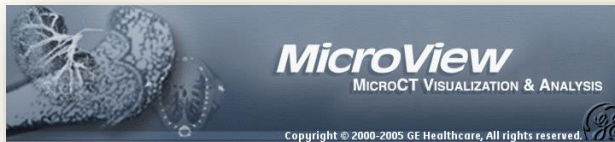
Le problème de la segmentation (1)

- Pour les applications, on a besoin de :
 - Définir une RDI ou ROI (**Region Of Interest**)
 - Définir la surface de la structure étudiée
 - Obtenir des paramètres quantitatifs (ex. volume)
 - ...



Une méthode « région » simple : le seuillage

La structure que l'on cherche à segmenter est caractérisée par ses niveaux de gris dans l'image 3D → seuillage de l'intensité de l'image



MANIX

Tête : ~500-700

Os : ~1200



Engine

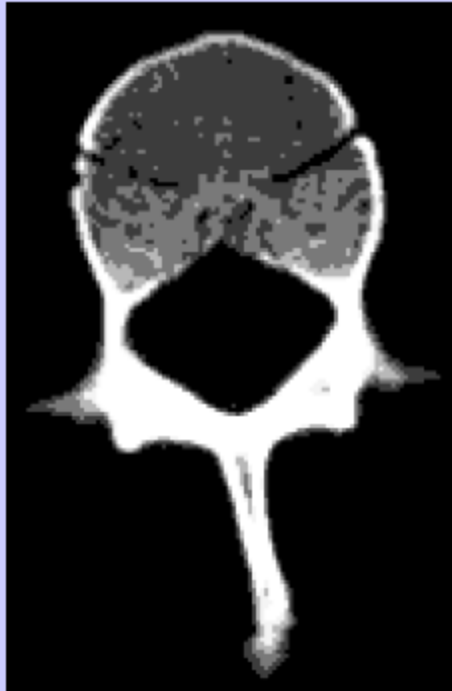
Structure 1 : pic autour de 140

Structure 2 : > 170

Mais.... Comment trouver un seuil significatif et reproductible à partir de l'histogramme ?

Mais comment visualiser la RDI ?

- On a une RDI (ou ROI) définie dans l'image par une région ou une frontière
- Forme une surface



Image



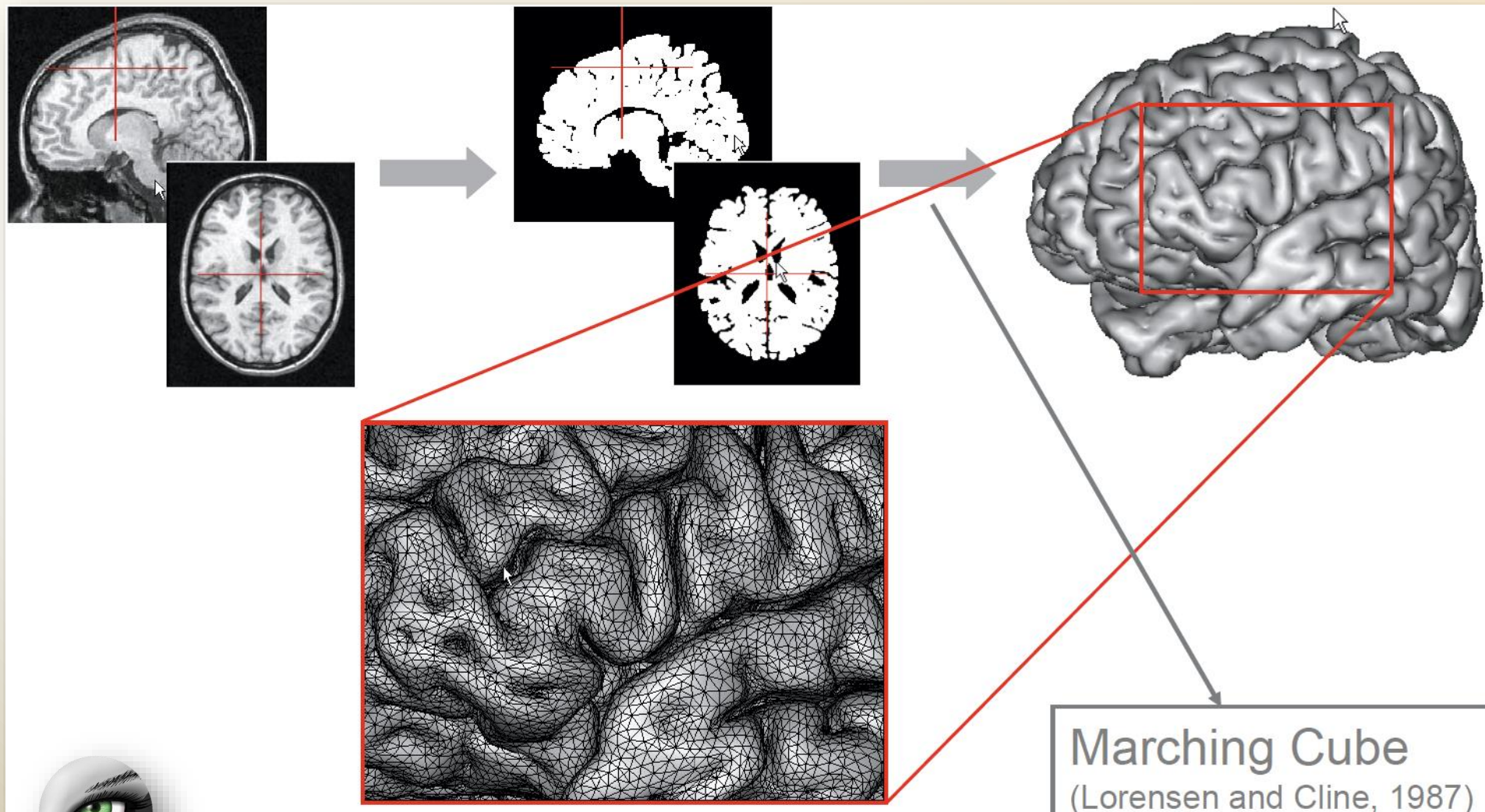
Segmentation Région



Segmentation
Frontière

Mais comment visualiser la RDI ?

→ Visualisation surfacique

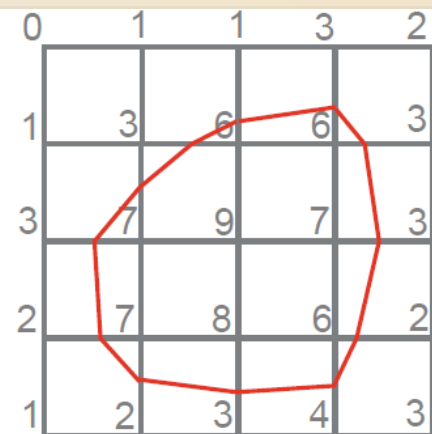
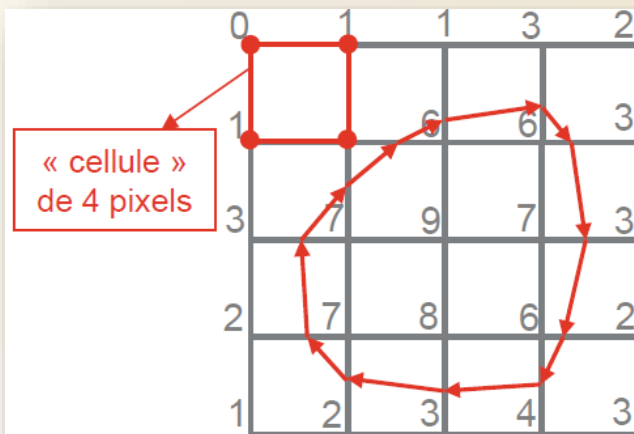


→ Obtenir un maillage **3D** représentant la surface-frontière de la ROI dans l'image segmentée

Extraction d'une iso-surface

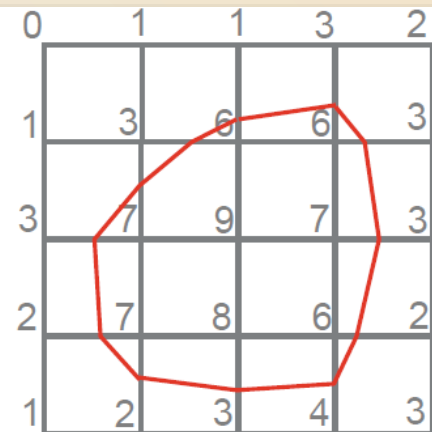
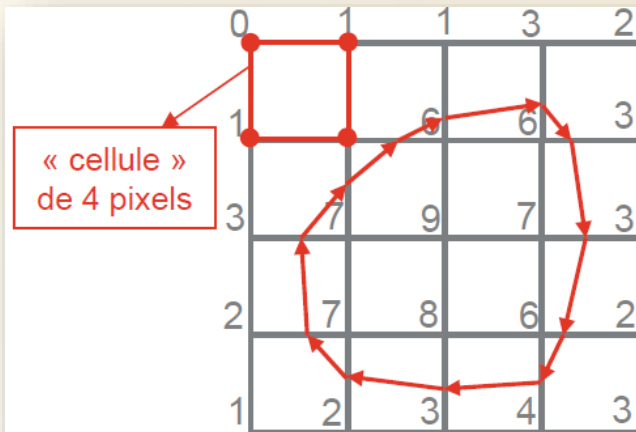
- L'**iso-surface** (resp. iso-contour en 2D) est la surface (resp. le contour) qui « passe » par les voxels (resp. pixels) d'une intensité donnée.
 - Représentation implicite : $I(x,y,z)=I_0$
 - Surface (resp. contour) fermée
- maillage surfacique de la structure seuillée à I_0
- si l'image a été préalablement segmentée : binaire $I_0 = 255$ ou 0.5

Etudions d'abord le problème en 2D !



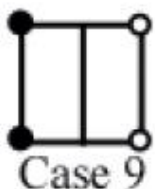
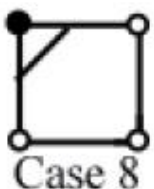
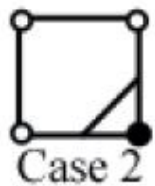
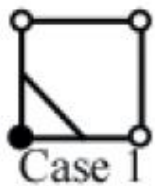
Iso-contour de valeur 5

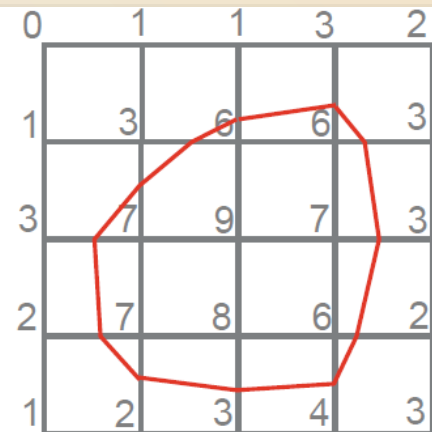
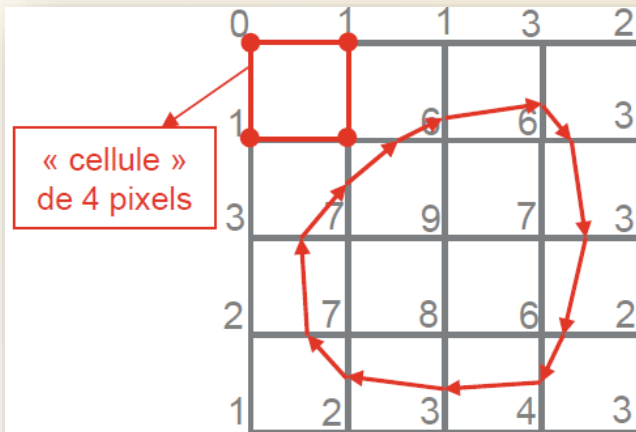
- Création de la grille 2D/3D reliant les centres des pixels/voxels
- Examen de toutes les cellules (= 4 pixels ou 8 voxels).
- Un sommet de la cellule est en dehors [$I(x,y) < I_0$] ou à l'intérieur [$I(x,y) > I_0$] du contour.



Iso-contour de valeur 5

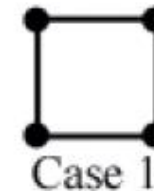
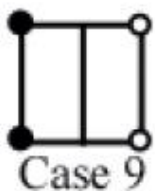
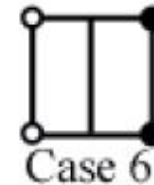
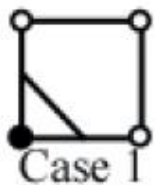
- Création de la grille 2D/3D reliant les centres des pixels/voxels
- Examen de toutes les cellules (= 4 pixels ou 8 voxels).
- Un sommet de la cellule est en dehors [$I(x,y) < I_0$] ou à l'intérieur [$I(x,y) > I_0$] du contour.

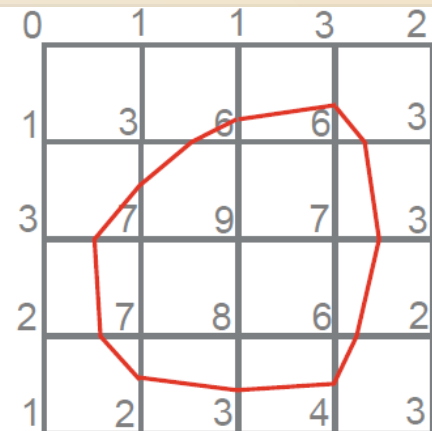
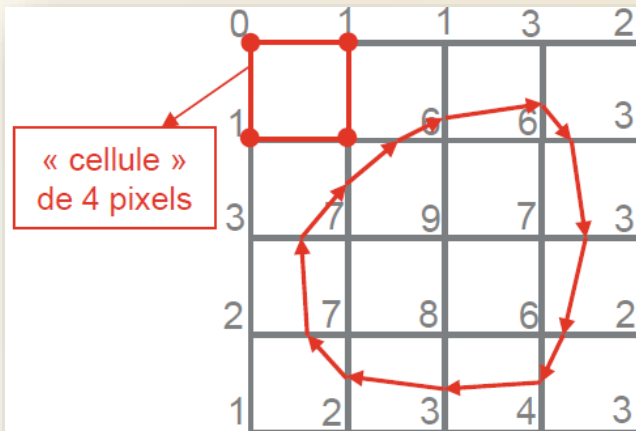




Iso-contour de valeur 5

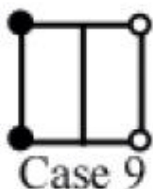
- Examen de toutes les cellules (= 4 pixels ou 8 voxels).
- Un sommet de la cellule est en dehors [$I(x,y) < I_0$] ou à l'intérieur [$I(x,y) > I_0$] du contour.
- Pour une cellule, un nombre fini ($2^4=16$) de configurations est possible.

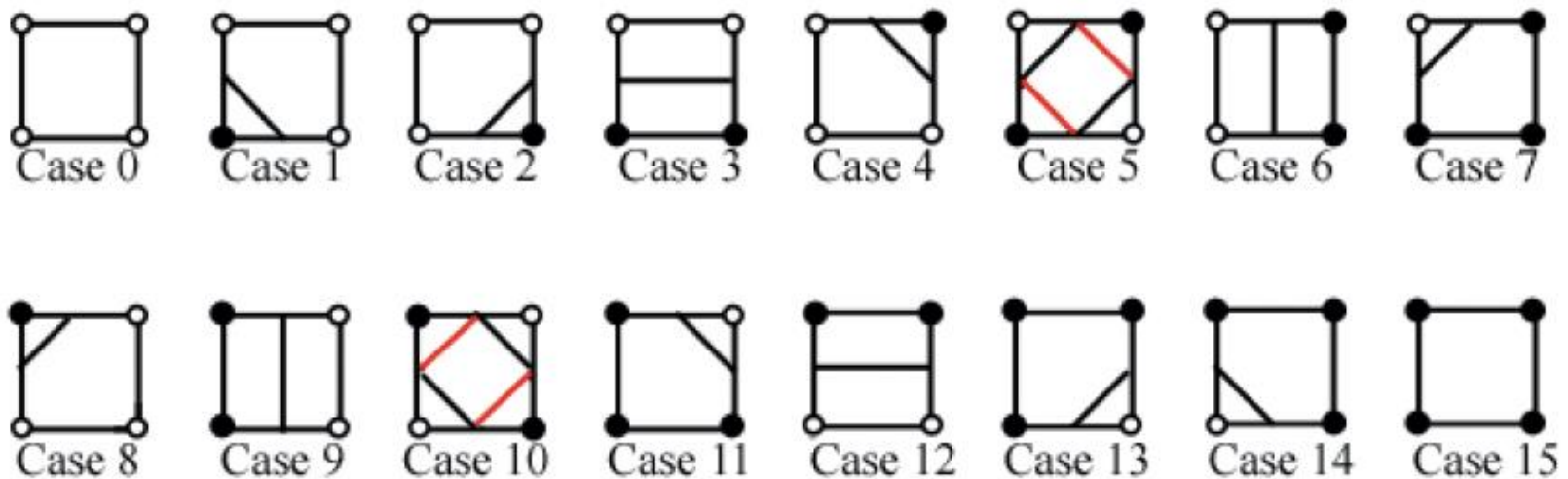




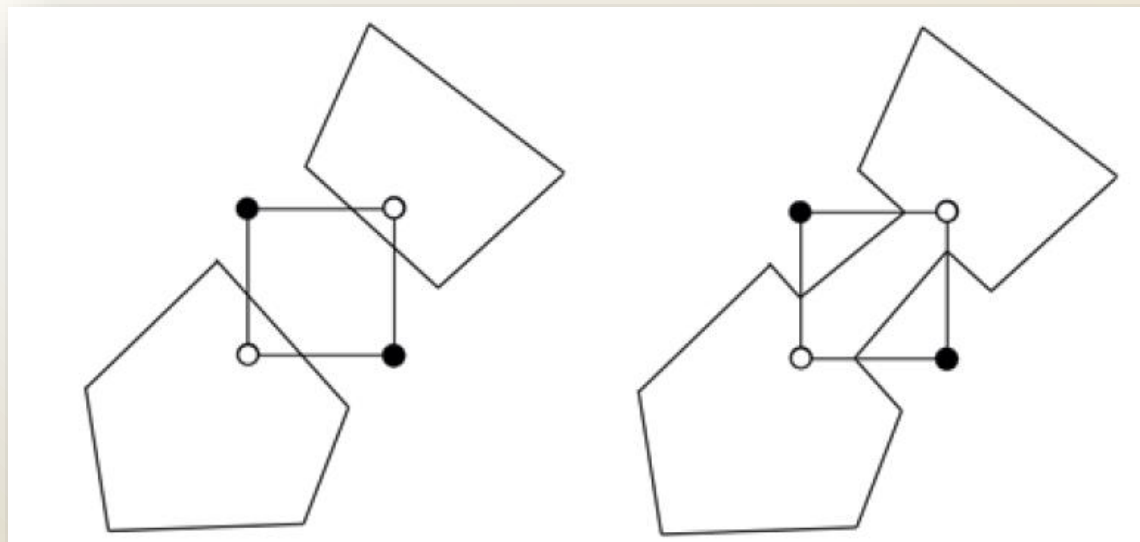
Iso-contour de valeur 5

- On peut alors définir un ou plusieurs segments correspondant au contour
- Qui vont se rabouter de cellule en cellule....
- Pour former une représentation discrète du contour

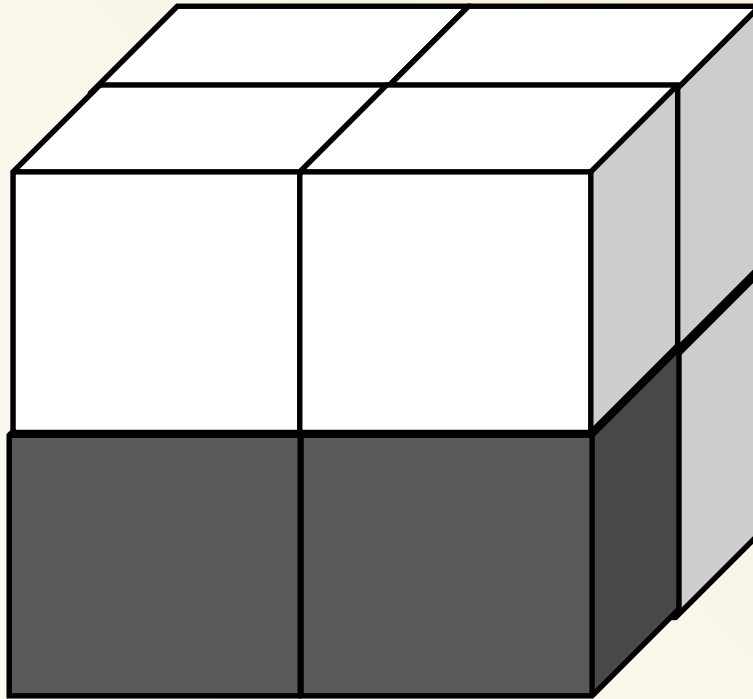




- D'un point de vue informatique, algorithme très facile à programmer.
- Il peut y avoir des ambiguïtés (case 5 / 10) mais le contour reste bien fermé.

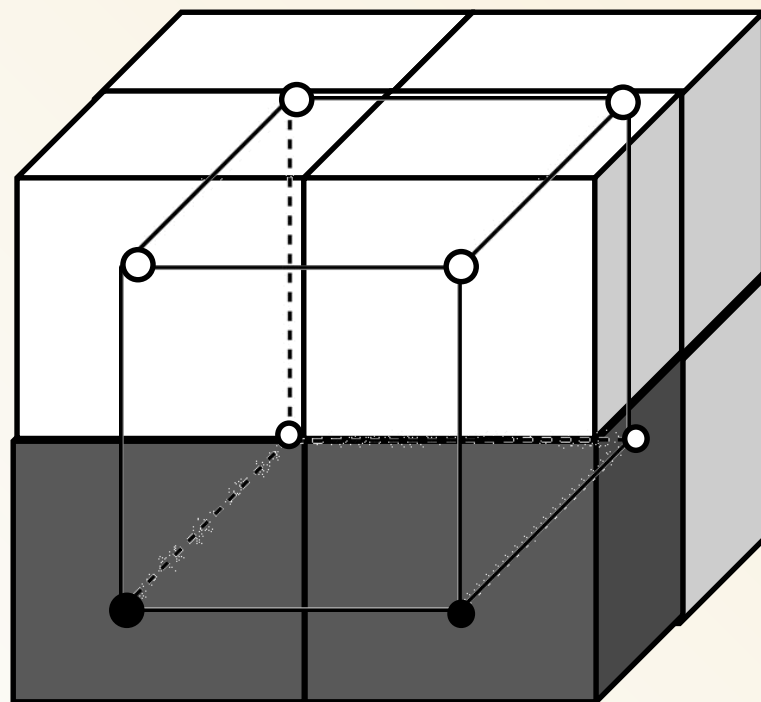


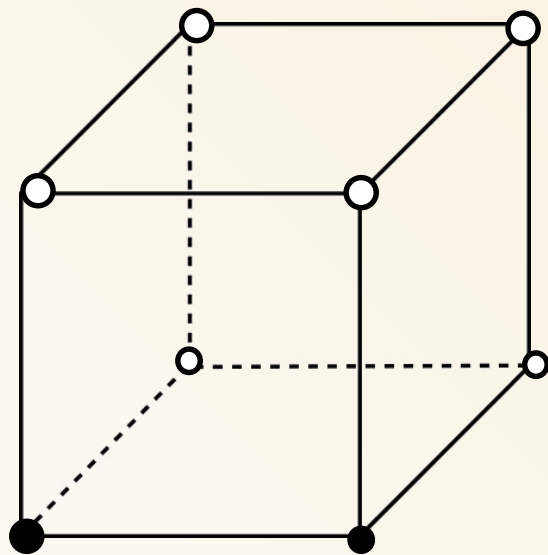
En 3 dimensions...

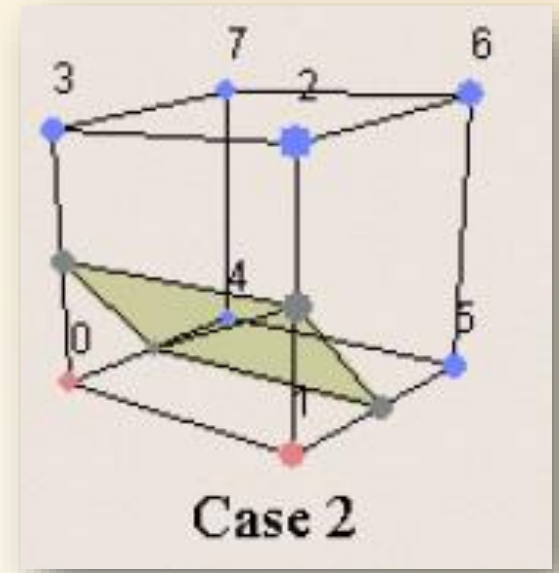
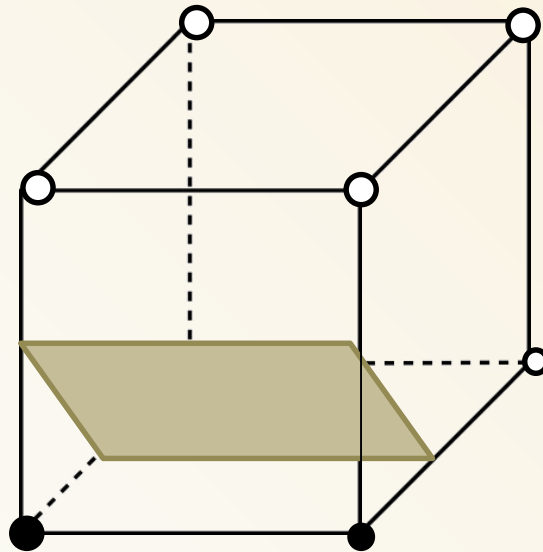


→ Algorithme du **Marching Cubes** qui va construire la surface par groupes de 2x2x2 voxels.

Lorensen, W. E.; Cline, Harvey E. (1987). "Marching cubes: A high resolution 3d surface construction algorithm". ACM Computer Graphics 21 (4): 163–169.





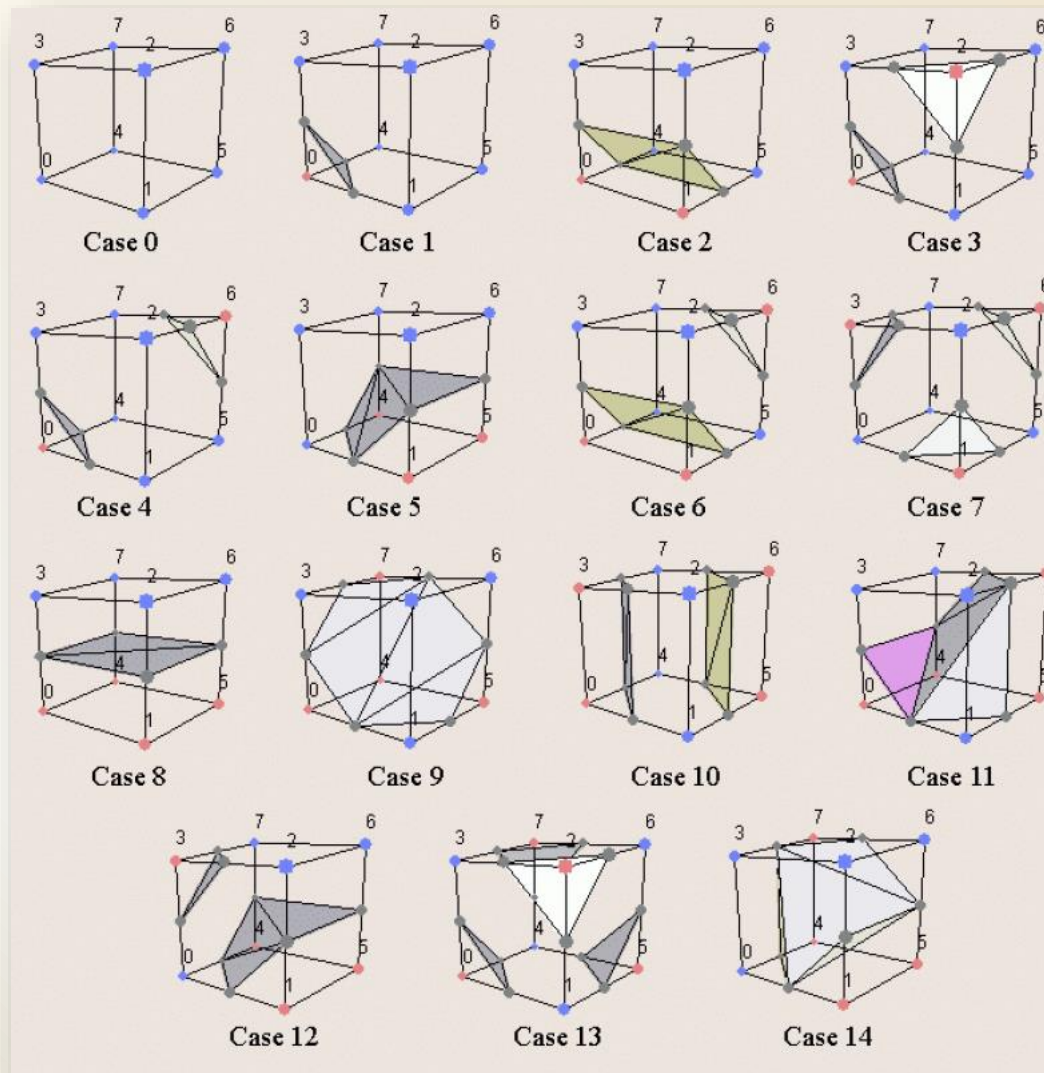


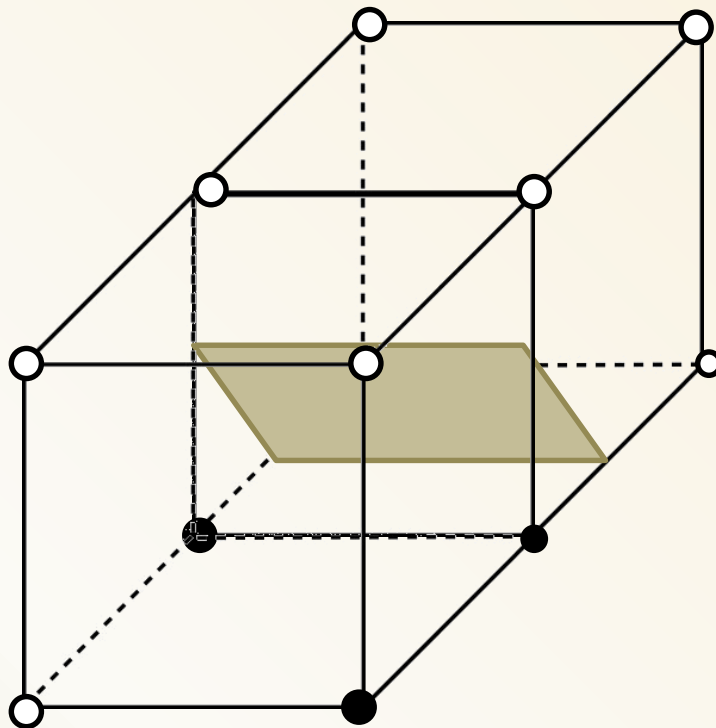
- Toutes les configurations (33) ont été listées.

Le problème se généralise en 3D avec $2^8 = 256$ configurations possibles.

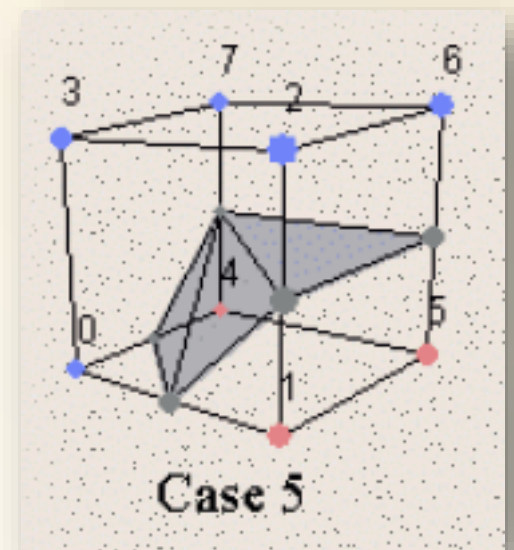
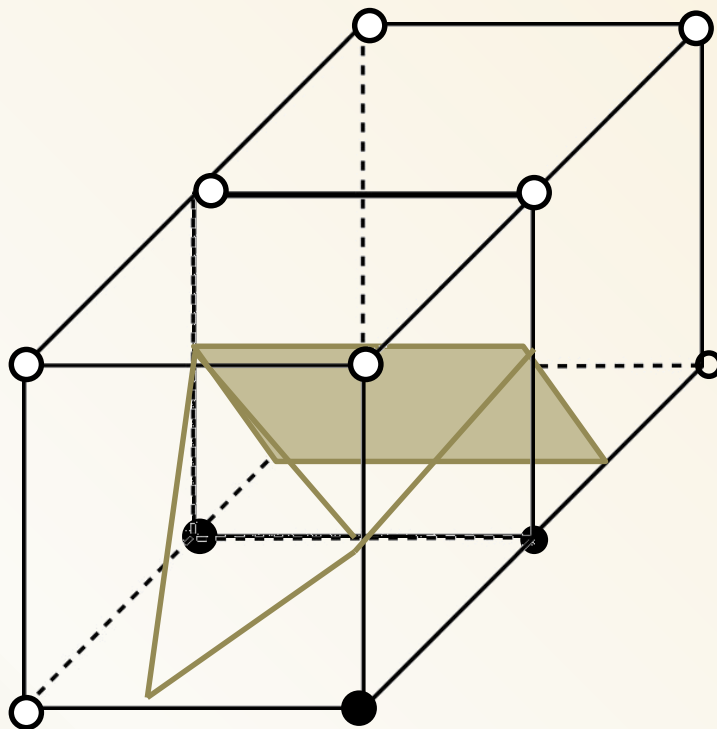
→ 15 configurations de base, les autres par symétrie

Et on peut construire un ou plusieurs polygones qui représentent l'isosurface à l'intérieur de la cellule..



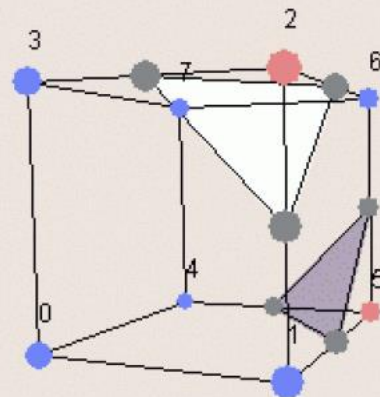


- Nouveau bloc de 2x2x2 voxels

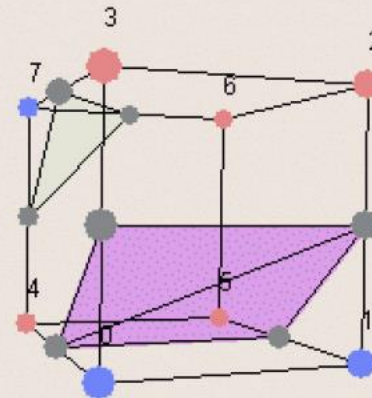


Le problème est plus complexe qu'en 2D : le choix d'une configuration dans une cellule n'est pas indépendant des autres cellules → un mauvais choix peut générer des trous dans la surface.

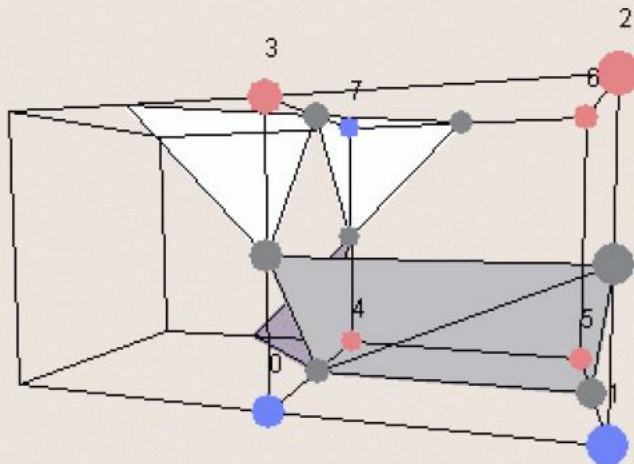
Case 3



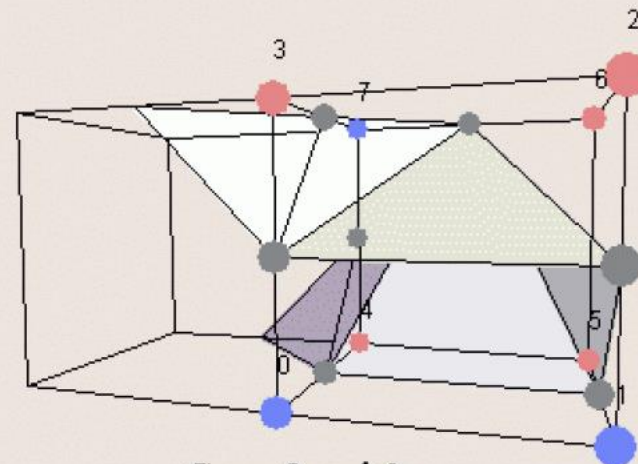
Case 6



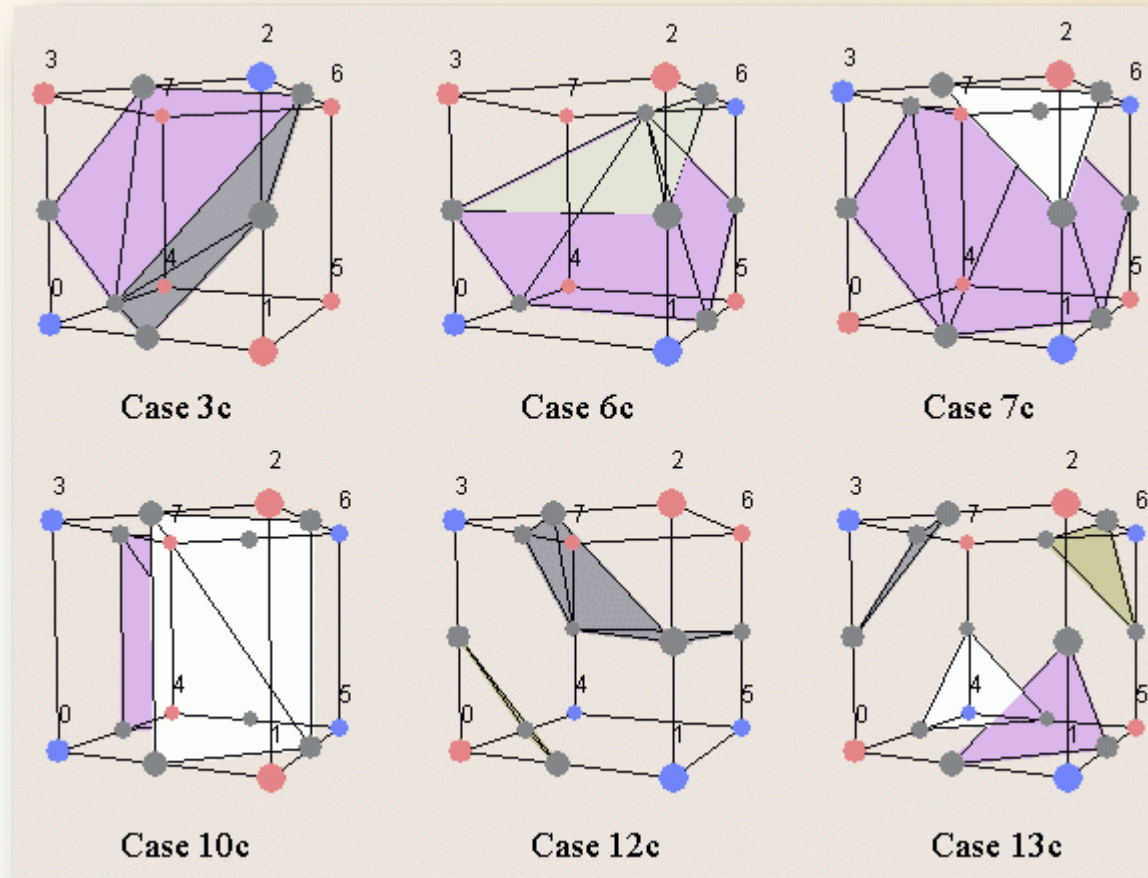
Cases 3 and 6



Cases 3 and 6c

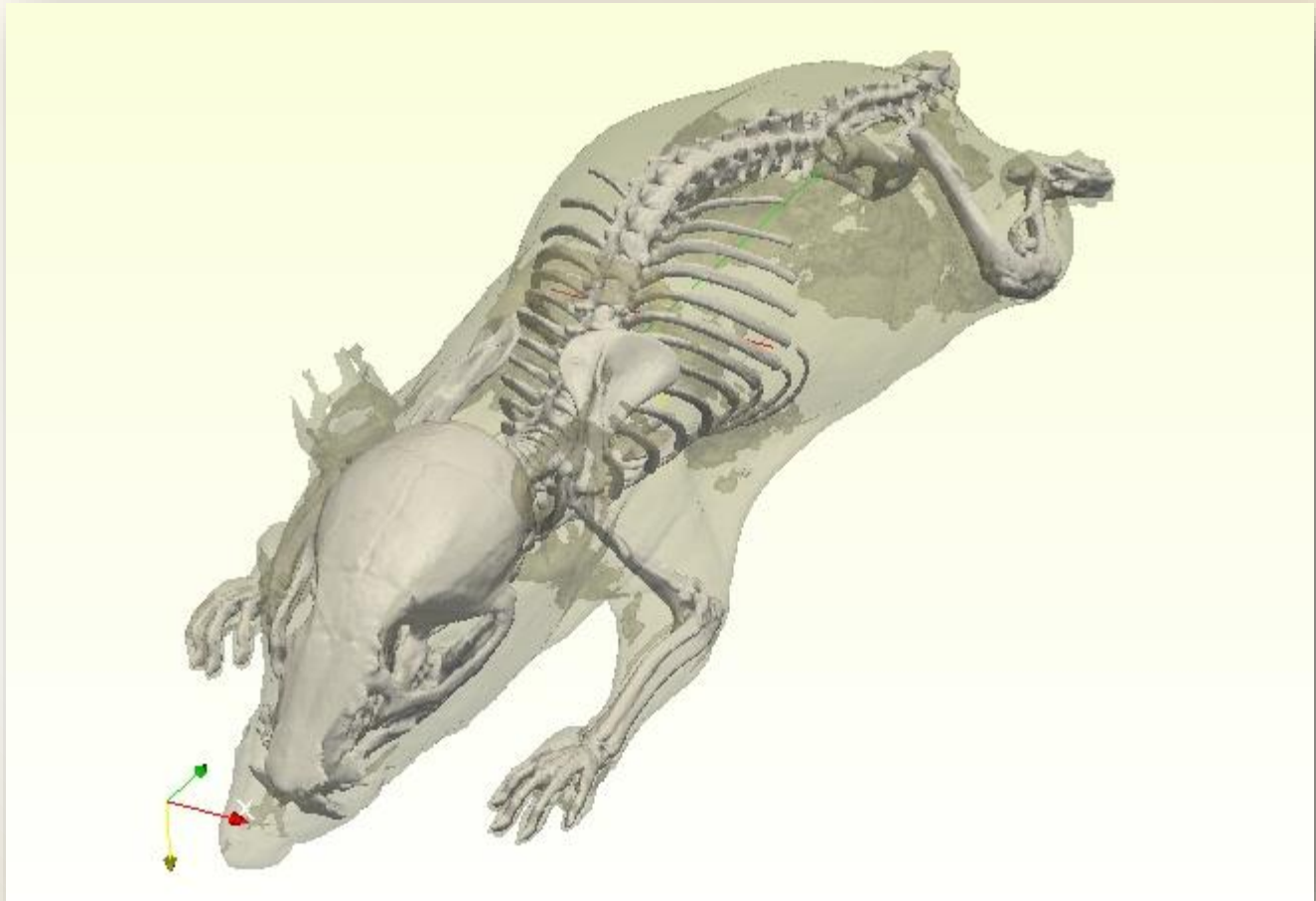


6 configurations complémentaires sont ajoutées pour résoudre les cas problématiques



Visualisation surfacique

- Une ou plusieurs surfaces **fermées** (sauf sur les bords de l'image 3D)
- Visualisation avec des logiciels d'infographie ou de CAO
- Effets graphiques (ombrage, transparence...)
- Simulation possible (découpe par exemple)



Pour en savoir plus...

HMIN318M « Imagerie 3D »

2018-2019

Mis à jour le 4 février 2019

<http://www.lirmm.fr/~subsol/HMIN318/>

Responsable : [G rard Subsol](#), Charg  de Recherche CNRS, Equipe-projet ICAR, LIRMM <http://www.lirmm.fr/~subsol/>

Contact : gerard.subsol@lirmm.fr

Description

Ce module a pour but de :

- D couvrir et approfondir l'ensemble des techniques de traitement des images num riques 3D.
- Appliquer concr tement ces techniques dans des cas pratiques, dans le domaine m dical, industriel, de la science des mat riaux, du patrimoine culturel...
- D couvrir le r le de l'ing nieur et de l'informaticien en imagerie 3D.

Le module abordera les points suivants :

- Syst mes d'acquisition 3D et modalit s d'imagerie 3D
- Visualisation 3D
- Segmentation
- Recalage
- Applications dans diff rents domaines : m dical mais aussi biologique, industriel, patrimoine

Organisation

Volume horaire des enseignements : 45 heures (cours : 18 h / TP + projet sur ordinateur : 27 h)

Les s ances se d rouleront **sauf exception** dans la salle de TP informat s e du D partement informatique (b timent 16 du campus Triolet de l'Universit  Montpellier (<http://www.umontpellier.fr/wp-content/uploads/2014/06/Campus-Triolet-UM.pdf>).

Modalit s de contr le de connaissances (voir <http://sciences.edu.umontpellier.fr/files/2016/12/r glement-des-examens-master-2017-2018.pdf>)

- 60 % : contr le  crit avec documents de 2 h ;

Sources

- Visualisation scientifique - Algorithmes : Marching cube/Diagrammes de Voronoï et triangulation de Delaunay, O. Coulon et S. Mavromatis

<http://www.esil.univ-mrs.fr/~ocoulon>

- Wikipedia

Images 3D

Raw data : 2 octets / unsigned short

engine : <http://www.volvis.org>

256 x 256 x 128

1:1:1

Two cylinders of an engine block

GE Industrial CT-Scanner

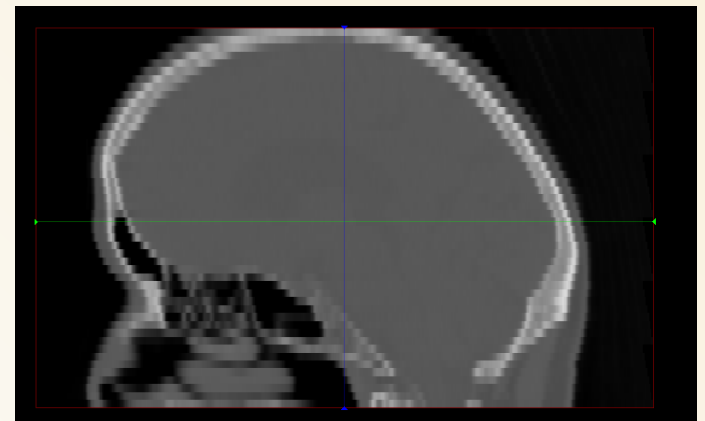


MANIX : <http://pubimage.hcuge.ch:8080/>

512 x 512 x 48

0.457 x 0.457 x 3.0 mm

Head CT



Images 3D

Raw data : 2 octets / unsigned short

<http://pubimage.hcuge.ch:8080/>

BEAUFIX

448 x 576 x 72

0.625 x 0.625 x 1.4 mm

Contrast-enhanced renal MRA acquired on a
3T scanner. Normal study



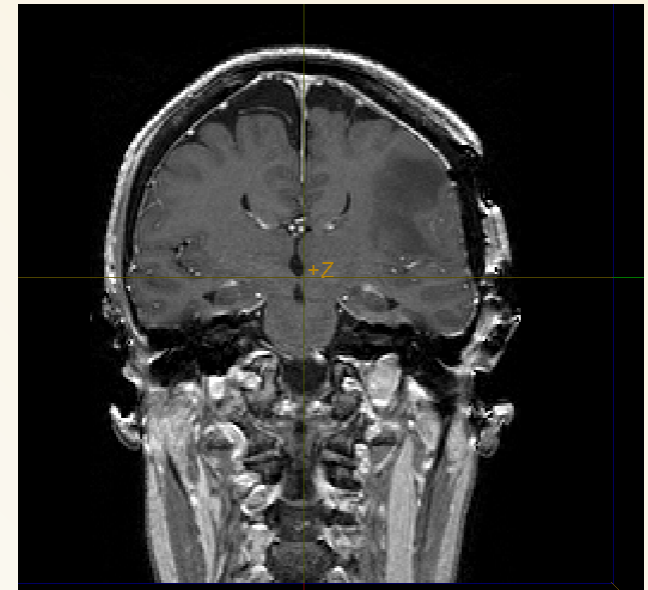
<http://pubimage.hcuge.ch:8080/>

BRAINIX

256 x 256 x 100

0.9375 x 0.9375 x 1.5 mm

MR Brain tumor.



Images 3D

Raw data : 2 octets / unsigned short

engine : <http://www.volvis.org>

256 x 256 x 256

1:1:1

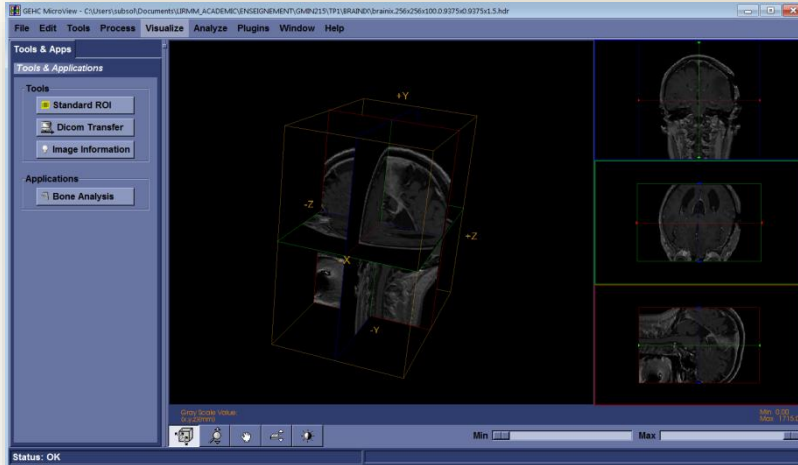
Rotational C-arm x-ray scan of a human foot.

Tissue and bone are present in the dataset.

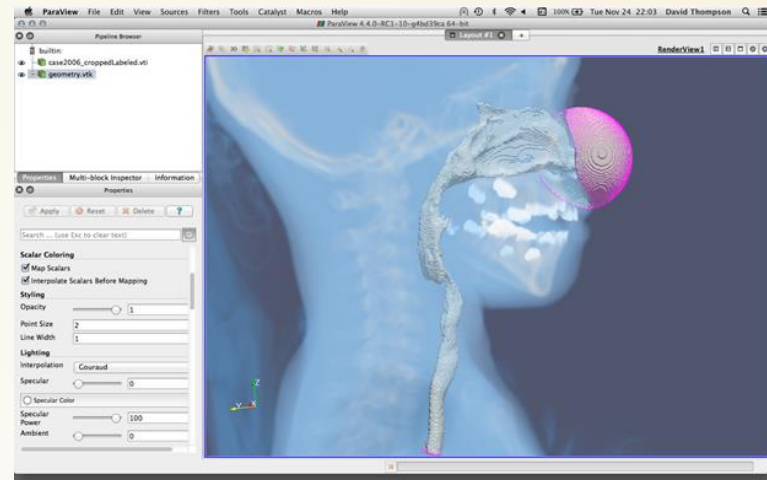


Logiciels

MicroView (Windows, Linux, MacOS) : <http://microview.sourceforge.net/webindex.html>



Paraview (Windows, Linux, MacOS) : <http://www.paraview.org/>



Logiciels

MeshLab (Windows, Linux, MacOS) : <http://meshlab.sourceforge.net/>

